

Grafică pe calculator
Note de curs
Facultatea de informatică
Universitatea "Alexandru Ioan Cuza", Iași

Lucian Ghirvu

anul universitar 2005-2006

Cuprins

1	Introducere în grafica pe calculator	9
1.1	Procesarea imaginii	10
1.2	Avantajele GPC interactive	11
1.3	Utilizări reprezentative ale GPC	11
1.4	Clasificarea aplicațiilor de GPC	12
1.5	Evoluția tehnologiilor hardware și software pentru GPC	13
1.5.1	Evoluția tehnologiilor hardware	13
1.5.2	Evoluția tehnologiilor software grafice (și al standardelor grafice)	19
1.6	Conceptele GPC interactive	19
1.6.1	Modelarea aplicației	20
1.6.2	Programarea aplicației	21
1.6.3	Tratarea interacțiunilor	22
1.7	Sumar	23
2	Spații vectoriale	25
3	Aplicații liniare	33
4	Lumină (a)romatică	37
4.1	Lumină acromatică	37
4.1.1	Selectarea intensităților	37
4.1.2	Aproximarea intensităților prin autotipie	40
4.2	Lumină cromatică	42
4.2.1	Modele de culori pentru grafica rastru	43
4.2.2	Specificarea interactivă a culorii	48
4.2.3	Utilizarea culorii în grafica pe calculator	48
5	Transformări geometrice	51
5.1	Transformări geometrice 2D	51
5.2	Coordonate omogene și reprezentarea matricială a transformărilor 2D	52
5.3	Compunerea transformărilor 2D	56
5.4	Transformarea window-viewport	58

5.5	Eficiența transformărilor geometrice	60
5.6	Reprezentarea matricială a transformărilor 3D	60
5.7	Compunerea transformărilor 3D	64
5.8	Transformări geometrice văzute ca transformări ale sistemului de coordonate .	66
6	Bibliografie	69

Lista figurilor

1.1	Arhitectura unui ecran vectorial	16
1.2	Obținerea unei imagini pe un ecran vectorial	16
1.3	Arhitectura unui ecran rastru	17
1.4	Obținerea unei imagini pe un ecran rastru	17
1.5	Structura unui sistem grafic interactiv	20
2.1	Adunarea vectorilor	27
4.1	Amplasarea nivelurilor de intensitate	39
4.2	Simulare intensități	41
4.3	10 niveluri de intensitate	42
4.4	13 niveluri de intensitate	43
4.5	Modelul artistic	44
4.6	Modelul RGB	45
4.7	Modelul HSV	46
4.8	Specificarea interactivă a culorii	49
5.1	Transformarea de rotație este bine definită	53
5.2	Transformare afină	55
5.3	Transformări forfecate	56
5.4	Rotația pentagonului în jurul P_1	57
5.5	Scalarea pentagonului în raport cu P_1	57
5.6	Transformarea window-viewport	57
5.7	Conversia ferestrei universului aplicației în viewport	59
5.8	Regulile mâinii drepte și stângi	61
5.9	Transformare 3D compusă	64
5.10	Coordonatele unui punct în mai multe sisteme de coordonate	67
5.11	Transformarea sistemului de coordonate	68

Lista tabelelor

1.1	Clasificarea după dimensionalitate	13
1.2	Bucă de tratare a evenimentelor	22
4.1	Valori pentru $\frac{1}{I_0}$ și n	40

Capitolul 1

Introducere în grafica pe calculator

Obiectul graficii pe calculator (GPC) îl constituie crearea, memorarea și manipularea modelelor și imaginilor obiectelor. Modelele pot proveni din matematică, fizică, științe ingineresti, arhitectură, meteorologie, etc. .

Grafica pe calculator este, în mare măsură, *interactivă* : utilizatorul controlează conținutul, structura și modul de apariție al obiectelor și al imaginilor lor afișate, utilizând dispozitive de intrare (tastatură, mouse, ecrane sensibile la atingere¹).

Evoluția GPC :

- Anii '80 : hardware și software costisitoare, dificil de utilizat,
- PC-urile² având ecrane cu grafică rastru încorporată (XEROX STAR, APPLE MACINTOSH, IBM PC) au introdus conceptul de imagini grafice bazate pe *hărți de biți*³.

Definiția 1.1

O *hartă de biți* este o metodă de reprezentare a unei imagini grafice prin care aceasta este *divizată* într-o matrice de puncte⁴ pe ecran. Fiecare pixel este memorat independent de ceilalți pixeli și i se poate atribui o culoare și/sau intensitate (tot în mod independent de ceilalți pixeli). ■

- Următorul concept apărut în GPC este cel de *suprafață de lucru*⁵. Prin intermediul unui program gestionar de ferestre⁶ utilizatorul poate crea, poziționa, redimensiona, *ferestre*⁷. Ferestrele sunt terminale asociate unor aplicații. Acest concept a dus la modificarea interfețelor text ale sistemelor de operare.

¹ *touch-sensitive panel* în engleză

² *Personal Computers* în engleză

³ *Bitmaps* în engleză

⁴ *Pixeli sau pels* în engleză

⁵ *Desktop* în engleză

⁶ *Window manager* în engleză

⁷ suprafețe dreptunghiulare pe ecran

1.1 Procesarea imaginii

Grafica pe calculator se referă la sinteza unor obiecte reale sau imaginare din modele computaționale⁸.

Procesarea imaginii este un domeniu înrudit dar *diferit* : tratează analiza scenelor sau reconstrucția unor obiecte 2D/3D din imagini. Procesarea imaginilor este utilă în diverse domenii : recunoaștere aeriană, explorarea spațiului cosmic, robotică industrială, tomografie, etc. .

Exemplul 1.1

Pe baza unei fotografii aeriene, să se reconstruiască obiectele 3D din zonă. ■

Subdomeniile procesării imaginii sunt :

1. îmbunătățirea imaginii⁹ : îmbunătățirea calității imaginii prin eliminarea zgomotului¹⁰ sau prin îmbunătățirea contrastului.
2. detectarea și recunoașterea modelelor¹² : detectarea și clasificarea unor șabloane standard precum și găsirea unor abateri de la aceste șabloane.

Exemplul 1.2

Tehnologia OCR¹³. ■

3. analiza scenelor¹⁴ și vederea computerizată¹⁵ : permit recunoașterea și reconstituirea modelului 3D al unei scene din mai multe imagini 2D.

Exemplul 1.3

Un robot industrial. ■

Deși GPC și procesarea imaginii au început ca discipline separate astăzi există mai multe domenii în care se suprapun :

1. procesarea interactivă a imaginii : fotografiile scanate sunt modificate și combinate cu altele (eventual cu imagini sintetice) înainte de publicare.
2. în GPC anumite operații simple de procesare a imaginii sunt utilizate pentru sinteza imaginii unui model.

⁸modele ce pot fi memorate în memoria unui calculator

⁹*Image Enhancement* în engleză

¹⁰*Noise* în engleză

¹¹pixeli care lipsesc sau nu au legătură cu imaginea respectivă

¹²*pattern detection* în engleză

¹³*Optical Character Recognition* în engleză

¹⁴*Scene Analysis* în engleză

¹⁵*Computer Vision* în engleză

1.2 Avantajele GPC interactive

1. GPC reprezintă un mijloc natural de comunicare om-mașină datorită capacității umane de procesare a datelor grafice 2D/3D în mod rapid și eficient.
2. Vizualizarea științifică : GPC a devenit un mijloc indispensabil de interpretare a datelor produse în supercomputere.
3. GPC interactivă a devenit cel mai important mod de producere a imaginilor¹⁶ (atât ale unor obiecte concrete dar mai ales ale unor obiecte abstracte sau ale unor date care nu au proprietăți geometrice, de ex. rezultate ale unor sondaje de opinie). Imaginile nu sunt numai statice ci pot fi și dinamice, de ex. ale unor obiecte/fenomene care variază în timp : modelarea transformărilor feței umane din copilărie și până la o vârstă înaintată.
4. Utilizarea imaginilor dinamice este în mod deosebit efectivă atunci când utilizatorul poate controla viteza animației, porțiunea din scenă care este vizualizată, numărul de detalii afișate, etc. Din aceste motive, în cadrul GPC interactive, s-au dezvoltat tehnologii hard/software pentru controlul de către utilizator a dinamicii mișcării¹⁷ cât și a dinamicii actualizărilor de imagine¹⁸ :
 - (a) În cadrul *dinamicii mișcării* obiectele pot fi mutate sau răsturnate¹⁹ în raport cu un observator staționar. Putem avea și cazul invers : obiectele pot fi staționare și observatorul mobil (de ex. un simulator de zbor).
 - (b) *Actualizarea imaginii* se referă la schimbarea vizibilă a formei, culorii sau a altor proprietăți ale obiectelor vizualizate (de ex. afișarea deformării structurii unui avion în zbor).
5. GPC interactivă dinamică oferă numeroase posibilități de codificare și de comunicare a informației : forma 2D/3D a obiectelor dintr-o imagine, scala de gri/culoare a acestora precum și variația în timp a acestor proprietăți.

1.3 Utilizări reprezentative ale GPC

1. Interfețe utilizator.
2. Scheme grafice²⁰ utilizate în economie, știință, tehnologie : histograme, hărți grafice de tip *bar*, *pie*, ordonare a activităților, etc.

¹⁶de la inventarea TV și a fotografiei

¹⁷*motion dynamics* în engleză

¹⁸*update dynamics* în engleză

¹⁹*tumbled* în engleză

²⁰*charts* în engleză

3. Publicații electronice, birotică.
4. CAD - design-ul industrial cu ajutorul calculatorului²¹ : în industria de automobile, avionică, procesoare, telefonie, etc.
5. Simularea și animația pentru vizualizare științifică și divertisment.

Exemplul 1.4

Pentru crearea unor desene animate desenatorul creează doar câteva cadre de referință, lăsând pe seama calculatorului crearea cadrelor de tranziție. ■

6. Artă și comerț : utilizarea GPC pentru crearea de reclame sau ghiduri computerizate în muzee.
7. Controloare de proces : GPC intervine în controlul proceselor industriale din rafinării, centrale electrice, etc. prin afișarea valorilor datelor preluate de la senzorii atașați diverselor componente critice ale respectivelor sisteme (de ex. controlul traficului aerian).
8. Cartografie : realizarea de hărți geografice, hărți de relief, hărți oceanografice, hărți meteorologice, etc.

1.4 Clasificarea aplicațiilor de GPC

Aplicațiile de GPC se pot clasifica după mai multe criterii :

1. După *tipul (dimensionalitatea) obiectului* ce trebuie reprezentat și *tipul de imagine* produsă : vezi tabelul 1.1, pag. 13.
2. După *tipul de interacțiune* ce determină gradul de control al utilizatorului asupra obiectului și imaginii sale :
 - (a) *Offline plotting* : afișarea imaginii pe baza unei baze de date apriorice,
 - (b) *Interactive plotting* : utilizatorul controlează afișarea prin furnizarea de parametri. Afișarea interactivă este astfel și un proces iterativ.
 - (c) Afișarea obiectului în *timp real* (de ex. în simulatoarele de zbor).
 - (d) *Design interactiv* : în care utilizatorul începe cu un ecran vid, definește noi obiecte apoi prelucrează imaginea obținută.
3. După *rolul imaginii* sau în ce grad imaginea reprezintă un scop în sine sau servește unui scop : de ex., în cartografie sau în animație imaginea este produsul final, pe când în aplicațiile gen CAD imaginea este cea a unui obiect construit sau analizat.

²¹ *Computer Aided Design* în engleză

4. *Relațiile temporale și logice* între obiecte și imaginile lor :

- Utilizatorul poate lucra cu o singură imagine la un moment dat (cazul plotterelor),
- Utilizatorul poate lucra cu o secvență variind în timp de imagini înrudite (ca în *motion dynamics*),
- Utilizatorul poate lucra cu o colecție structurală de obiecte (ca în cazul aplicațiilor CAD).

tip obiect	reprezentare grafică
2D	desenare de linii imagini în nuanțe de gri imagini colorate
3D	desenare de linii desenare de linii cu diverse efecte imagini colorate cu diverse efecte

Tabelul 1.1: Clasificarea după dimensionalitate

1.5 Evoluția tehnologiilor hardware și software pentru GPC

1.5.1 Evoluția tehnologiilor hardware

1. Dispozitive periferice de ieșire similare mașinilor de scris (cca 1950).
2. Apariția tubului catodic CRT²² (cca 1955).
3. Apariția tastaturii, a creioanelor optice (inventate de Ivan Sutherland) în *Sketchpad Drawing System* (1963).
4. Apariția domeniilor CAD (1964) și CAM²³ (1981).
5. Apariția calculatoarelor personale (PCs) cu interfețe grafice (Apple, IBM PC) a redus dramatic costurile tehnologiilor hard/software pentru GPC.

²² *Cathode Ray Tube* în engleză

²³ *Computed-Aided Manufacturing* în engleză

Evoluția tehnologiilor hardware de ieșire

1. *Ecranul vectorial*²⁴ are arhitectura din figura 1.1, pag. 16. Procesorul de ecran (PE)²⁵ este similar unui dispozitiv periferic de ieșire. În memoria tampon a ecranului (ME)²⁶ sunt memorate liste de comenzi²⁷ de genul :

- `move x0,y0`, care deplasează cursorul de ecran în poziția (x_0, y_0) ,
- `line x1, y1`, care trasează un segment de dreaptă având extremitatea inițială poziția curentă a cursorului iar extremitatea finală poziția (x_1, y_1) ,
- `char ABC`, care afișează șirul "ABC".

Imaginea pe ecran (CRT) este obținută prin execuția de către PE a comenzilor din ME. Acest mod de obținere a imaginii se numește baleiere aleatoare²⁸.

Exemplul 1.5

În figura 1.2, pag. 16, imaginea din partea stângă se obține, pe un ecran vectorial printr-o succesiune de comenzi `move` și `line`. ■

Limitele acestei tehnologii sunt date de capacitatea de memorare a ME precum și de viteza PE. În plus trebuie ținut cont și de limitările tehnologice care impun reluarea execuției tuturor comenzilor din buffer cel puțin de 30 ori pe secundă și aceasta deoarece fosforul utilizat în CRT își pierde luminozitatea în zecimi/sutimi de μs .

2. Ecranele DVST²⁹ sunt similare celor vectoriale dar nu au ME (și deci și procesul de reîmprospătare a imaginii este inutil în acest caz).
3. Apariția configurației *ecran-minicalculator* a fost următorul pas în dezvoltarea tehnologiilor hardware grafice de ieșire.
4. Apariția în 1968 a ecranelor cu reîmprospătare a imaginii³⁰ prevăzute cu procesoare ce puteau efectua (fără a solicita CPU) diverse transformări geometrice : scalare, rotație, translarea punctelor și a segmentelor de dreaptă în timp real, decupări 2D/3D³¹ și proiecții paralele și perspective.

²⁴ *vector, stroke, line drawing, calligraphic display* în engleză

²⁵ *Display processor* în engleză

²⁶ *Display buffer memory* în engleză

²⁷ *Display list, display program* în engleză

²⁸ *Random scan* în engleză

²⁹ *Direct view storage tube* în engleză

³⁰ *Refresh display hardware* în engleză

³¹ *Clipping* în engleză

5. Dezvoltarea graficii rastru (cca 1970) a contribuit, mai mult decât orice altă tehnologie, la dezvoltarea domeniului GPC. *Ecranele rastru*³² memorează *primitivele de ecran* (segmente de dreaptă, caractere, suprafețe colorate uniforme sau cu diverse modele³³) într-o zonă de memorie tampon de reîmprospătare³⁴ sub forma *pixelilor* componenți. Arhitectura unui ecran rastru este prezentată în figura 1.3, pag. 17.

Imaginea pe un ecran rastru este formată pe baza *rastrului* (alcătuit din linii de rastru³⁵ ce reprezintă șiruri de pixeli; practic rastrul fiind memorat într-o matrice de pixeli ce reprezintă tot ecranul). Imaginea este baleiată (sau scanată) linie cu linie, secvențial de către controller-ul video în ordinea sus, jos și înapoi. Acest mod de baleiere este baleierea rastrului³⁶.

În momentul afișării unui pixel, intensitatea fascicolului de electroni din CRT va fi modificată astfel încât să corespundă intensității pixelului respectiv. În cazul unui ecran în culori avem trei fascicule de electroni ale căror intensități corespund cu intensitățile celor trei componente ale culorii pixelului.

Exemplul 1.6

În figura 1.4, pag. 17 este prezentată imaginea pe un ecran rastru a figurii din partea stângă. ■

Dacă într-un ecran vectorial buffer-ul de reîmprospătare conținea codul operațiilor de trasare și coordonatele finale, într-un ecran rastru întreaga imagine (de ex. 1024×1024 pixeli) trebuie să fie memorată explicit în buffer-ul de reîmprospătare. Termenul de *bitmap* se referă atât la buffer-ul de reîmprospătare cât și la matricea valorilor pixelilor.

6. Apariția memoriilor RAM a contribuit decisiv la impunerea modelului de ecran rastru³⁷.

Utilizând memorii RAM au apărut ecrane rastru *monocrom*³⁸ (i.e., cu 2 culori : alb/negru, negru/verde, portocaliu/verde). Bitmap-ul acestui tip de ecran conține 1 bit/pixel și deci, dacă un ecran monocrom are o rezoluție de 1024×1024 pixeli atunci bitmap-ul corespunzător are 2^{20} biți.

Ulterior au apărut ecrane *policrome* cu 8 biți/pixel (permițând 256 culori pentru un pixel) sau 24 biți/pixel (permițând 16 milioane de culori pentru un pixel).

³² *Raster displays* în engleză

³³ *patterns* în engleză

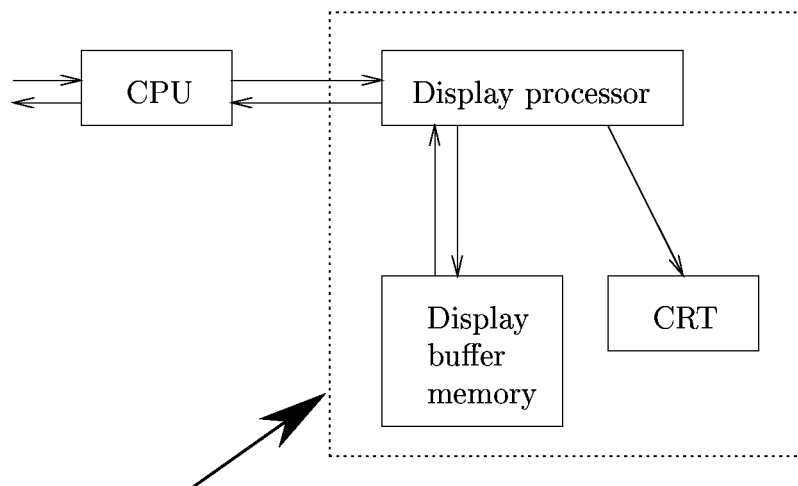
³⁴ *Refresh buffer* în engleză

³⁵ *raster lines* în engleză

³⁶ *Raster scan* în engleză

³⁷ în fața ecranului vectorial

³⁸ *Bilevel* în engleză



Display vectorial

Figura 1.1: Arhitectura unui ecran vectorial

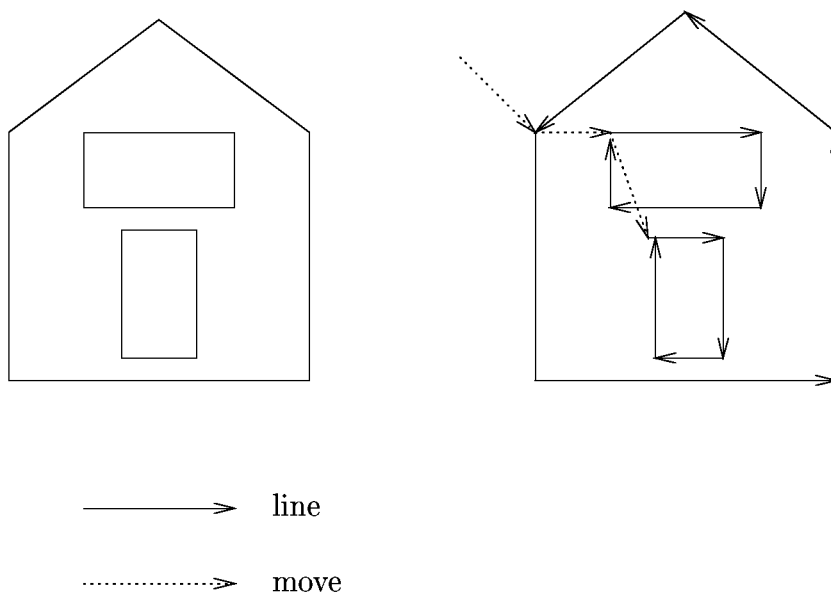


Figura 1.2: Obținerea unei imagini pe un ecran vectorial

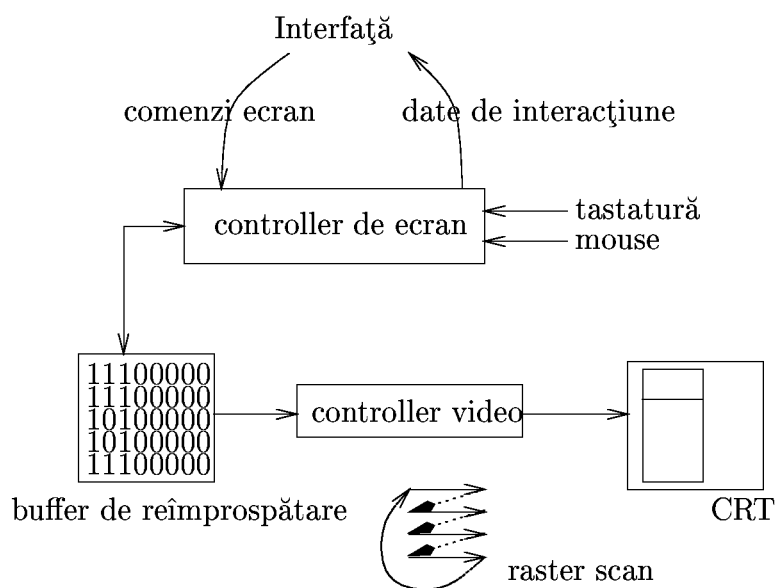


Figura 1.3: Arhitectura unui ecran rastru

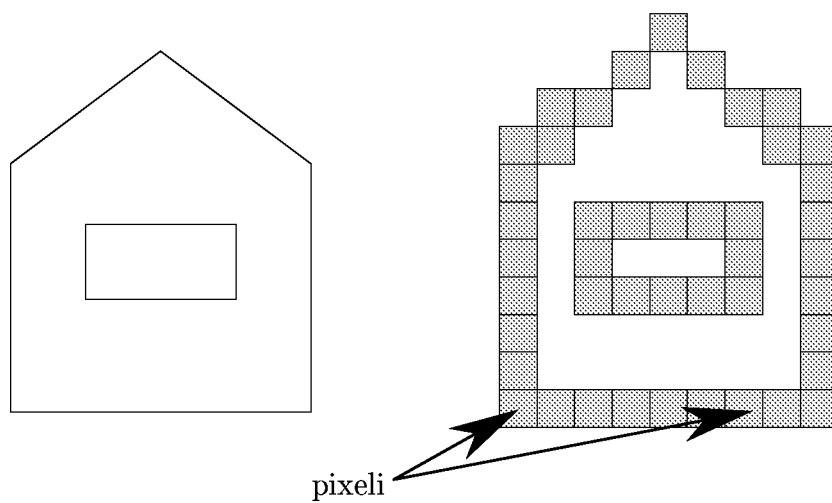


Figura 1.4: Obținerea unei imagini pe un ecran rastru

Observația 1.1

Termenul de *bitmap* se aplică doar ecranelor monocrome, în cazul ecranelor policrome utilizăm termenul de *pixmap*.

În cazul în care dorim să distingem între cele 2 semnificații ale termenului *bitmap* (*pixmap*) : conținutul bufferului de reîmprospătare și bufferul de reîmprospătare vom utiliza pentru bufferul de reîmprospătare termenul de *buffer cadru*³⁹. ■

Observația 1.2

Avantajele GPC utilizând ecrane rastru față de GPC utilizând ecrane vectoriale sunt :

- Costuri scăzute (datorate costurilor scăzute ale memoriilor RAM).
- Posibilitatea de a colora uniform sau cu diferite modele zone compacte pe ecran.
- Procesul de reîmprospătare al imaginilor este independent de complexitatea imaginii (i.e., de numărul de segmente de dreaptă, de numărul de poligoane, etc.) iar tehnologiile hardware actuale permit citirea cel puțin o dată a fiecărui pixel din bufferul cadru într-un ciclu de reîmprospătare, lucru care nu este posibil întotdeauna în cazul unor imagini complicate afișate pe un ecran vectorial.

Totuși GPC utilizând ecrane rastru are și o serie de *dezavantaje* față de GPC utilizând ecrane vectoriale :

- Reprezentarea segmentelor de dreaptă sau a poligoanelor se face, în general, prin vârfurile lor și în concluzie pentru a fi afișate pe un ecran rastru trebuie să existe software specializat care să calculeze pixelii corespunzători unui segment de dreaptă sau poligon. În general această conversie se efectuează utilizând un procesor dedicat RIP⁴⁰.
- Deoarece reprezentarea unei primitive grafice pe un ecran rastru necesită o conversie, reprezentarea grafică a unor fenomene dinamice în timp real este costisitoare pentru ecranele rastru.
- Reprezentarea unor curbe continue este aproximată prin pixeli pentru ecranele rastru. De aici rezultă aspectul zimțat, colțuros al acestor reprezentări. ■

Evoluția tehnologiilor hardware de intrare

Primele dispozitive hardware grafice de intrare au fost *creioanele optice* pentru ecranele vectoriale. Ulterior au apărut : *mouse-ul* (Doug Engelbart 1968), *tabletele grafice*⁴¹, *ecranele sensibile la atingere*⁴².

³⁹ *frame buffer* în engleză

⁴⁰ *Raster image processor* în engleză

⁴¹ *Tablet data* în engleză

⁴² *Touch Sensitive Panels* în engleză

1.5.2 Evoluția tehnologiilor software grafice (și al standardelor grafice)

Tehnologiile software grafice s-au dezvoltat plecând de la software scris pentru un singur tip de ecran și într-un limbaj de programare de nivel scăzut (chiar limbaj de asamblare sau cod mașină) și ajungând la software independent de dispozitivul grafic de ieșire și dezvoltat în limbaje de programare de nivel înalt (C, Pascal, Fortran, etc.).

Standardele grafice au apărut începând cu anul 1975 (cca) :

- 1977, 1979 : 3D Core Graphics System.
- GKS (Graphical Kernel System) : este standard ANSI (1985).
- GKS 3D (1988).
- PHIGS (Programmer's Hierarchical Interactive Graphic System) : 1988.
- SRGP (Simple Raster Graphics Package).
- SPHIGS (Simple PHIGS).

1.6 Conceptele GPC interactive

Majoritatea sistemelor grafice interactive au structura din figura 1.5, pag. 20 :

1. *Modelul aplicației*⁴³ reprezintă datele sau obiectele ce vor fi reprezentate pe ecran.
2. *Programul aplicației*⁴⁴ creează, memorează în sau regăsește din modelul aplicației.
3. Programul aplicației gestionează intrările de la utilizator și produce *privești*⁴⁵ ale modelului trimițând *sistemului grafic* o serie de comenzi grafice de ieșire ce conțin o descriere geometrică detaliată a imaginii ce va fi afișată cât și atributele ce descriu modul în care va apărea respectiva imagine.

Sistemul grafic poate fi văzut realizând o *transformare de ieșire* ale obiectelor din modelul aplicației într-o privire a respectivului model sau realizând o *transformare de intrare* a acțiunilor utilizatorului în intrări pentru programul aplicației.

Designer-ul unui sistem grafic interactiv trebuie să specifice :

- Clasele de obiecte ce vor fi generate și reprezentate grafic.
- Modalitățile prin care utilizatorul și programul aplicației vor interacționa pentru a crea și modifica modelul și reprezentarea sa vizuală.

⁴³ *Application model* în engleză

⁴⁴ *Application program* în engleză

⁴⁵ *Views* în engleză

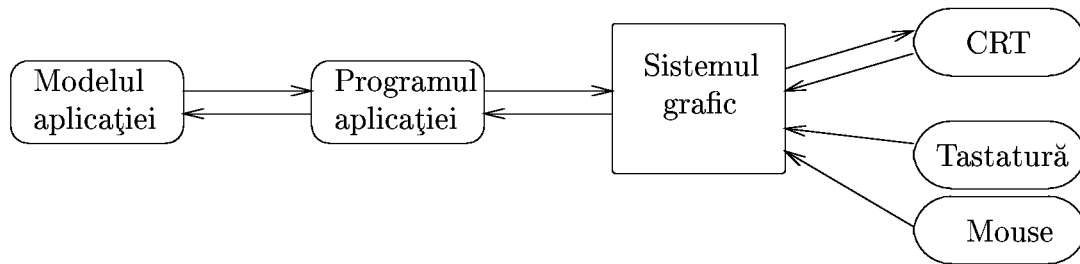


Figura 1.5: Structura unui sistem grafic interactiv

1.6.1 Modelarea aplicației

Definiția 1.2

Modelul aplicației cuprinde datele, obiectele și relațiile dintre ele relevante pentru partea de afișare și de interacțiune a programului aplicației și pentru orice modul de postprocesare negrafic (de ex. module care realizează simularea unui model populațional). ■

Exemplul 1.7

Programul PAINT (WINDOWSTM) este un program interactiv de realizare de imagini. Utilizatorul poate modifica în mod direct pixelii din bitmap/pixmap. ■

Modelul aplicației poate fi de mai multe feluri :

1. Model *inexistent* (de ex. în programul PAINT).
2. Model alcătuit din *combinații* de descrieri de date și de proceduri. Modelul datelor poate fi un tablou sau o listă înlănțuită sau chiar o bază de date relațională.

Modelul aplicației *memorează* de obicei :

- *Primitive* (puncte, segmente de dreaptă, poligoane în 2D/3D, poliedre, suprafețe 3D) care definesc *forma* componentelor obiectului.
- *Attribute* ale obiectului : culoare, stil (pentru segmente de dreaptă), textură (pentru suprafețe).
- *Relații de conexiune* și *date de poziționare* care descriu modul de ajustare al obiectelor.

Putem efectua o *clasificare* a modelelor aplicațiilor în funcție de *gradul de modelare geometrică* al obiectelor :

1. Modele în care obiectele sunt descrise în întregime în termeni geometrici (de ex. poliedrele componente).

2. Modele în care descrierea geometrică a obiectelor nu este necesară (de ex. foi de calcul⁴⁶).
3. Modele pentru care descrierea geometrică poate fi obținută *on-the-fly* (de ex. grafurile orientate se memorează prin liste de adiacență și doar când e nevoie se poate genera descrierea geometrică).

1.6.2 Programarea aplicației

Programul aplicației *crează modelul aplicației* fie *aprioric* (ca rezultat al unor calcule anterioare) sau *interactiv* (când utilizatorul ghidează procesul de construcție al modelului aplicației pas cu pas; în acest caz programul aplicației trebuie să poată furniza priveriști ale modelului parțial).

Deoarece modelele sunt specifice diverselor aplicații și sunt create independent de un anumit tip de ecran, programul aplicației trebuie să *convertească* o porțiune din modelul ce trebuie vizualizat din reprezentarea internă geometrică (fie explicit memorată în model, fie derivată *on-the-fly*) în apeluri de proceduri sau comenzi pe care sistemul grafic le utilizează pentru a crea o imagine.

Procesul de *conversie* are două etape :

- Programul aplicației extrage porțiunile ce trebuie vizualizate utilizând criterii de interogare sau selecție pentru baza de date în care este memorat modelul aplicației.
- Porțiunile extrase sunt convertite în formatul de intrare al sistemului grafic. Datele extrase în prima etapă trebuie să fie geometrice sau să fie convertite într-un format geometric înțeles de către sistemul grafic. Dacă modelul conține primitive geometrice care nu sunt suportate de către sistemul grafic atunci programul aplicației trebuie să le convertească în primitivele suportate de către sistemul grafic.

Sistemul grafic constă într-un set de proceduri corespunzând diverselor primitive și attribute. Acestea sunt colectate în biblioteci grafice (apelabile din limbaje de nivel înalt : C, Pascal). Sistemul grafic permite deasemenea și abstractizarea diverselor detalii de implementare a sistemului grafic prin crearea *dispozitivelor logice de ecran*⁴⁷. Pot fi abstractizate detalii de implementare cum ar fi :

- care parte anume din generarea de imagini se efectuează cu ajutorul tehnologiilor hardware și care se efectuează de către sistemul grafic,
- mouse-ul, tabela de date, ecranul senzitiv, joystick-ul pot fi tratate ca dispozitive de intrare logice de localizare ce returnează o adresă (x, y) de pe ecran. În acest caz programul aplicației poate cere sistemului grafic să testeze dispozitivele de intrare sau să

⁴⁶ *Spreadsheets* în engleză

⁴⁷ *Logical Display Device* în engleză

aștepte până când un eveniment este generat în momentul activării de către utilizator a unui dispozitiv de intrare. Cu aceste valori de intrare (obținute prin testare⁴⁸ sau prin așteptarea unui eveniment) programul aplicației poate gestiona interacțiuni cu utilizatorul care modifică modelul sau ecranul sau care îi schimbă modul de operare.

1.6.3 Tratarea interacțiunilor

Tratarea interacțiunilor în programul aplicației se face utilizând o buclă de tratare a evenimentelor⁴⁹ (reprezentată în tabelul 1.2, pag. 22). Aceasta este un automat finit determinist cu o singură stare (de așteptare) și tranziții generate de evenimentele cauzate de intrările utilizator.

```
begin
  1. generarea ecranului inițial (derivată din modelul aplicației)
while(!quit)
  2. trecerea în modul de selectare a comenzilor
  3. așteptare selecție utilizator
  switch(selecție)
    4. selectarea unui proces pentru completarea (finalizarea)
      comenzii sau procesarea completă de către acest proces a comenzii
    5. actualizarea modelului și a ecranului
  endswitch
endwhile
end
```

Tabelul 1.2: Buclă de tratare a evenimentelor

Observația 1.3

În bucla de tratare a evenimentelor trebuie reținut că *nu* pot exista modificări pe ecran fără a exista în prealabil în modelul aplicației (coerența dintre modelul aplicației și ecran trebuie menținută).

Această observație nu se referă și la cazul în care modelul aplicației și imaginea de pe ecran sunt identice (de ex. în cazul programul PAINT sau în aplicațiile de îmbunătățire a imaginilor). ■

Observația 1.4

Sistemul grafic nu are nici un fel de responsabilitate în construirea sau modificarea modelului (fie inițial, fie ca răspuns la interacțiunea cu utilizatorul). Singura sa responsabilitate constă în crearea imaginilor din descrieri geometrice și de a transmite datele de intrare de la utilizator. ■

⁴⁸ *sampling* în engleză

⁴⁹ *event-driven loop* în engleză

1.7 Sumar

- Interfețele grafice au substituit pe cele în mod text ca standarde în interacțiunea utilizator-calculator.
- Exprimarea *grafică* a ideilor, datelor în cele mai diverse domenii este realizată prin intermediul GPC.
- În anii '80 au apărut calculatoarele personale (PCs) cu grafică bitmap și cca un deceniu mai târziu procesoarele care realizează în timp real animații 3D cu imagini policrome.

Capitolul 2

Spații vectoriale

În cele ce urmează reamintim câteva noțiuni legate de spațiile vectoriale și de aplicațiile liniare.

Definiția 2.1

Se numește *spațiu vectorial* tuplul $(K, V, +, \cdot)$, unde $+$ și \cdot sunt două funcții : $+$: $V \times V \rightarrow V$ și \cdot : $K \times V \rightarrow V$.

Elementele mulțimii V se numesc *vectori* iar elementele mulțimii K se numesc *scalari*. Operațiile de adunare a vectorilor precum și de înmulțire a vectorilor cu scalari au următoarele proprietăți :

SV_1 adunarea vectorilor este asociativă : $(\forall \vec{u}, \vec{v}, \vec{w} \in V)((\vec{u} + \vec{v}) + \vec{w} = \vec{u} + (\vec{v} + \vec{w}))$,

SV_2 adunarea vectorilor este comutativă : $(\forall \vec{u}, \vec{v} \in V)(\vec{u} + \vec{v} = \vec{v} + \vec{u})$,

SV_3 în V există vectorul nul : $(\exists \vec{0} \in V)(\forall \vec{v} \in V)(\vec{v} + \vec{0} = \vec{v})$,

SV_4 existența vectorului opus : $(\forall \vec{v} \in V)(\exists -\vec{v} \in V)(\vec{v} + (-\vec{v}) = \vec{0})$,

SV_5 înmulțirea vectorilor cu scalari este asociativă : $(\forall a, b \in K)(\forall \vec{v} \in V)(a \cdot (b \cdot \vec{v}) = (a \cdot b) \cdot \vec{v})$,

SV_6 în K există scalarul unitate : $(\exists 1 \in K)(\forall \vec{v} \in V)(1 \cdot \vec{v} = \vec{v})$,

SV_7 adunarea vectorilor este distributivă : $(\forall a \in K)(\forall \vec{u}, \vec{v} \in V)(a \cdot (\vec{u} + \vec{v}) = a \cdot \vec{u} + a \cdot \vec{v})$,

SV_8 înmulțirea vectorilor cu scalari este distributivă : $(\forall a, b \in K)(\forall \vec{v} \in V)((a + b) \cdot \vec{v} = a \cdot \vec{v} + b \cdot \vec{v})$.

■

Exemplul 2.1

Un exemplu de spațiu vectorial este $(\mathbf{R}, \mathbf{R}^n, +, \cdot)$, unde $(a_1, a_2, \dots, a_n) + (b_1, b_2, \dots, b_n) = (a_1 + b_1, a_2 + b_2, \dots, a_n + b_n)$ și $a \cdot (a_1, a_2, \dots, a_n) = (a \cdot a_1, a \cdot a_2, \dots, a \cdot a_n)$.

■

În cele ce urmează definim un spațiu vectorial izomorf¹ cu $(\mathbf{R}, \mathbf{R}^3, +, \cdot)$: spațiul vectorial tridimensional (\mathbf{R}, V_3) .

Elementele mulțimii V_3 se definesc prin intermediul unei relații de echivalență R , definită pe mulțimea segmentelor orientate din plan (spațiu).

Un *segment orientat* este perechea (A, B) , unde A, B sunt puncte din plan (spațiu). Îl mai notăm și \overrightarrow{AB} . Dreapta AB este dreapta suport, A este originea iar B extremitatea segmentului orientat \overrightarrow{AB} .

Fie $\overrightarrow{AB}, \overrightarrow{CD}$ două segmente orientate. Atunci $(\overrightarrow{AB}, \overrightarrow{CD}) \in R$ dacă au aceeași direcție, sens și lungime, unde :

1. \overrightarrow{AB} și \overrightarrow{CD} au *aceeași direcție* dacă dreptele suport AB și CD coincid sau sunt paralele,
2. segmentele orientate \overrightarrow{AB} și \overrightarrow{CD} (care au aceeași direcție) au *același sens* dacă B și D sunt situate în același semiplan (al planului ABC) determinat de dreapta AC ,
3. *lungimea* (modulul, norma) segmentului orientat \overrightarrow{AB} (notată $|\overrightarrow{AB}|$) este distanța ($\in \mathbf{R}$) între punctele A și B .

Un *vector* \vec{v} este un reprezentant al unei clase de echivalență \bar{v} determinate de relația R . Se pot menționa câțiva vectori particulari :

1. vectorul nul $\vec{0}$ este reprezentantul clasei de echivalență $\{\overrightarrow{AA} | A \text{ punct din plan (spațiu)}\}$.
2. vectorul unitate (versor) este un vector \vec{v} cu proprietatea că $|\vec{v}| = 1$.

Definim în plan (spațiu) un punct O numit *origine*. Atunci, fiecare punct A din plan (spațiu) determină *vectorul de poziție* \overrightarrow{OA} . Se poate observa că putem defini o bijecție între mulțimea punctelor din plan (spațiu) și mulțimea vectorilor din V_3 .

Definim aplicațiile $+: V_3 \times V_3 \rightarrow V_3$ și $\cdot: \mathbf{R} \times V_3 \rightarrow V_3$ după cum urmează :

1. Fie vectorii $\overrightarrow{PQ} \in \overrightarrow{AB}$ și $\overrightarrow{QR} \in \overrightarrow{CD}$. Atunci definim adunarea vectorilor (vezi și figura 2.1, pag. 27) astfel : $\overrightarrow{AB} + \overrightarrow{CD} \in \overrightarrow{PR}$ (regula triunghiului). Fără a restrânge generalitatea spunem că $\overrightarrow{AB} + \overrightarrow{CD} = \overrightarrow{PR}$.

Proprietatea 2.1

Adunarea vectorilor are proprietățile $SV_{1,2,3,4}$ din definiția 2.1, pag. 25. ■

Fie $\overrightarrow{AB} \in \overrightarrow{AB}$. Inversul său (vectorul opus) este $\overrightarrow{BA} \in \overrightarrow{BA}$.

¹ există o bijecție între cele 2 spații vectoriale care conservă operațiile

2. Fie $k \in \mathbf{R}$ și $\vec{v} \in V_3$. Atunci $k \cdot \vec{v}$ este :

- (a) vectorul $\vec{0}$ dacă $k = 0$ sau $\vec{v} = \vec{0}$,
- (b) vectorul care are aceeași direcție cu \vec{v} și același sens (dacă $k > 0$) sau sens diferit (dacă $k < 0$) și lungime $k \cdot |\vec{v}|$.

Proprietatea 2.2

Înmulțirea vectorilor cu scalari are proprietățile $SV_{5,6,7,8}$ din definiția 2.1, pag. 25. ■

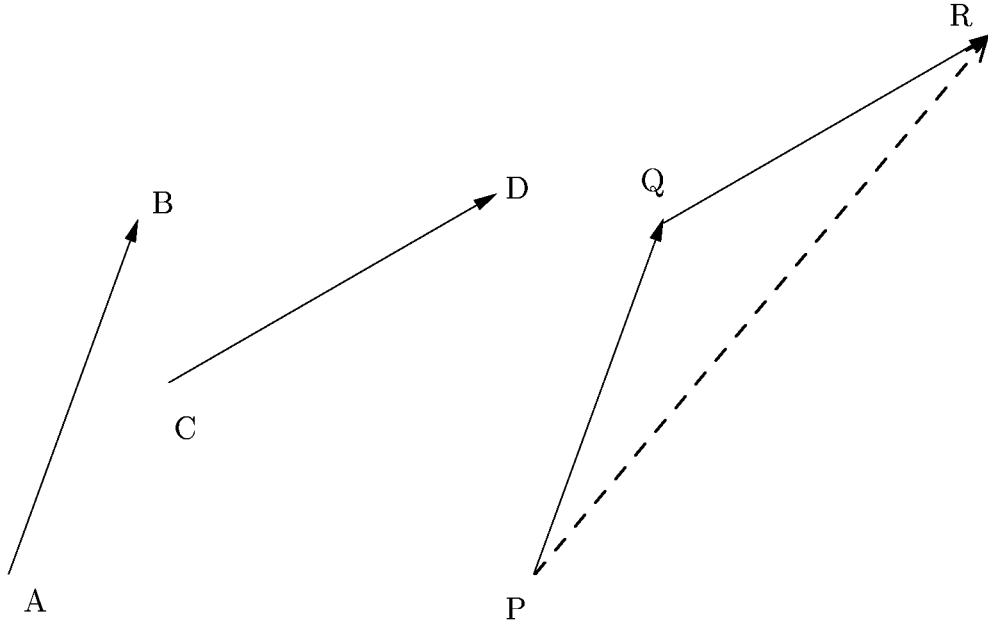


Figura 2.1: Adunarea vectorilor

Definiția 2.2

Doi vectori \vec{u} și \vec{v} sunt *coliniari* dacă au aceeași direcție. ■

Proprietatea 2.3

Vectorii \vec{u} și \vec{v} sunt coliniari dacă $(\exists \lambda \in \mathbf{R}^*)(\vec{u} = \lambda \cdot \vec{v})$. ■

Pentru evidențierea izomorfismului între spațiile vectoriale $(\mathbf{R}, \mathbf{R}^3, +, \cdot)$ și $(\mathbf{R}, V_3, +, \cdot)$ vom introduce un sistem de coordonate carteziane $Oxyz$ (astfel încât axele Ox , Oy și Oz sunt perpendiculare două câte două).

Proprietatea 2.4

$(\forall \vec{v} \in V_3)(\exists \vec{v}_x, \vec{v}_y, \vec{v}_z \in V_3)(\vec{v} = \vec{v}_x + \vec{v}_y + \vec{v}_z)$ și mai mult, \vec{v}_x, \vec{v}_y și \vec{v}_z sunt unici cu această proprietate. Direcțiile vectorilor \vec{v}_x, \vec{v}_y și \vec{v}_z sunt axele Ox, Oy și Oz . Dacă $\vec{v} = \overrightarrow{OA}$ atunci $\vec{v}_x = \overrightarrow{OA_x}, \vec{v}_y = \overrightarrow{OA_y}$ și $\vec{v}_z = \overrightarrow{OA_z}$, unde $AA_x \perp OA_x, AA_y \perp OA_y$ și $AA_z \perp OA_z$ iar $A_x \in Ox, A_y \in Oy, A_z \in Oz$. ■

Fie $\vec{i}, \vec{j}, \vec{k}$ versorii sistemului de coordonate (vectorii unitate ai direcțiilor Ox, Oy, Oz). Atunci $(\exists v_x, v_y, v_z \in \mathbf{R})(\vec{v}_x = v_x \cdot \vec{i} \wedge \vec{v}_y = v_y \cdot \vec{j} \wedge \vec{v}_z = v_z \cdot \vec{k})$. Numim $\vec{v}_x, \vec{v}_y, \vec{v}_z$ *componentele* vectorului \vec{v} în raport cu sistemul de coordonate $Oxyz$ iar v_x, v_y, v_z *coordonatele* vectorului \vec{v} în raport cu sistemul de coordonate $Oxyz$.

Fie $A_i(a_i, b_i, c_i), 1 \leq i \leq 2$ două puncte astfel încât $\vec{v} = \overrightarrow{A_1 A_2}$. Forma hipercomplexă a vectorului $\overrightarrow{A_1 A_2}$ este $\overrightarrow{A_1 A_2} = (a_2 - a_1) \cdot \vec{i} + (b_2 - b_1) \cdot \vec{j} + (c_2 - c_1) \cdot \vec{k}$ iar $|\overrightarrow{A_1 A_2}| = \sqrt{(a_2 - a_1)^2 + (b_2 - b_1)^2 + (c_2 - c_1)^2}$.

Deci există o corespondență bijectivă ϕ între spațiile vectoriale $(\mathbf{R}, \mathbf{R}^3, +, \cdot)$ și $(\mathbf{R}, V_3, +, \cdot)$ dată de faptul că oricărui vector $\vec{v} \in V_3$ îi corespunde în mod unic tripletul coordonatelor sale (v_x, v_y, v_z) și viceversa, oricărui triplet (a, b, c) din \mathbf{R}^3 îi corespunde în mod unic vectorul $a \cdot \vec{i} + b \cdot \vec{j} + c \cdot \vec{k}$ din V_3 .

Se poate arăta deasemeni și că $\phi(\vec{u} + \vec{v}) = \phi(\vec{u}) + \phi(\vec{v})$ și $\phi(a \cdot \vec{u}) = a \cdot \phi(\vec{u}), \forall \vec{u}, \vec{v} \in V_3, \forall a \in \mathbf{R}$.

Deci, dacă $\vec{a} = a_1 \cdot \vec{i} + a_2 \cdot \vec{j} + a_3 \cdot \vec{k}$ și $\vec{b} = b_1 \cdot \vec{i} + b_2 \cdot \vec{j} + b_3 \cdot \vec{k}$ și $p \in \mathbf{R}$ atunci $\vec{a} + \vec{b} = (a_1 + b_1) \cdot \vec{i} + (a_2 + b_2) \cdot \vec{j} + (a_3 + b_3) \cdot \vec{k}$ și $p \cdot \vec{a} = (p \cdot a_1) \cdot \vec{i} + (p \cdot a_2) \cdot \vec{j} + (p \cdot a_3) \cdot \vec{k}$.

Exercițiul 2.1

Fie $\vec{a} = 2\vec{i} + (\frac{1}{2})\vec{j} - \vec{k}$ și $\vec{b} = -3\vec{i} + 2\vec{j} + 5\vec{k}$. Să se calculeze $\vec{a} + \vec{b}, -\vec{b}, \vec{a} - \vec{b}, d\vec{a}$. ■

În concluzie vom identifica un vector cu coordonatele sale : \vec{i} cu $(1, 0, 0)$, \vec{j} cu $(0, 1, 0)$ și \vec{k} cu $(0, 0, 1)$ iar \vec{v} cu (v_x, v_y, v_z) .

Definiția 2.3 (Produs scalar)

Produsul scalar este aplicația $\cdot : V_3 \times V_3 \rightarrow \mathbf{R}$ definită astfel :

$$\vec{u} \cdot \vec{v} = \begin{cases} 0 & , \text{ dacă } \vec{u} = \vec{0} \vee \vec{v} = \vec{0}, \\ |\vec{u}| |\vec{v}| \cos \widehat{\vec{u}, \vec{v}} & , \text{ dacă } \vec{u} \neq \vec{0} \wedge \vec{v} \neq \vec{0} \end{cases}$$

, unde $\vec{u}, \vec{v} \in V_3$ și $\widehat{\vec{u}, \vec{v}}$ este cel mai mic dintre unghiurile determinate de dreptele suport ale vectorilor \vec{u} și \vec{v} . ■

Proprietatea 2.5

Produsul scalar are următoarele proprietăți :

1. este comutativ,

2. $\vec{i} \cdot \vec{i} = \vec{j} \cdot \vec{j} = \vec{k} \cdot \vec{k} = 1$ (deoarece unghiul dintre vectori este 0°),
3. $\vec{i} \cdot \vec{j} = \vec{i} \cdot \vec{k} = \vec{j} \cdot \vec{k} = 0$ (deoarece unghiul dintre vectori este 90°),
4. dacă $\vec{a} = a_1 \cdot \vec{i} + a_2 \cdot \vec{j} + a_3 \cdot \vec{k}$ și $\vec{b} = b_1 \cdot \vec{i} + b_2 \cdot \vec{j} + b_3 \cdot \vec{k}$ atunci $\vec{a} \cdot \vec{b} = \sum_{i=1}^3 a_i b_i$,
5. $\cos \widehat{\vec{u}, \vec{v}} = \frac{\vec{u} \cdot \vec{v}}{|\vec{u}| |\vec{v}|} = \frac{\sum_{i=1}^3 a_i b_i}{\sqrt{(\sum_{i=1}^3 a_i^2)(\sum_{i=1}^3 b_i^2)}}.$

■

Exercițiul 2.2

Fie $\vec{a} = 3\vec{i} - 4\vec{j}$ și $\vec{b} = \vec{i} + 2\vec{j} - 2\vec{k}$. Care este unghiul $\widehat{\vec{a}, \vec{b}}$?

■

Definiția 2.4 (Produs vectorial)

Produsul vectorial este aplicația $\times : V_3 \times V_3 \rightarrow V_3$ definită astfel : $\vec{u} \times \vec{v}$ este $\vec{0}$ dacă $(\vec{u} = \vec{0} \vee \vec{v} = \vec{0})$ și, în cazul în care $(\vec{u} \neq \vec{0} \wedge \vec{v} \neq \vec{0})$, este vectorul \vec{w} definit astfel încât :

1. $|\vec{w}| = |\vec{u}| |\vec{v}| \sin \widehat{\vec{u}, \vec{v}},$
2. $\vec{w} \perp \vec{u}$ și $\vec{w} \perp \vec{v},$
3. $(\vec{u}, \vec{v}, \vec{w})$ constituie un sistem orientat drept : dacă efectuăm cea mai scurtă rotație astfel încât să ducem \vec{u} peste \vec{v} atunci degetul mare arată sensul vectorului \vec{w} (sau dacă degetul mare al mâinii drepte arată sensul \vec{u} iar degetul arătător al mâinii drepte arată sensul \vec{v} atunci palma arată sensul \vec{w}).

■

Proprietatea 2.6

Produsul vectorial are următoarele proprietăți :

1. $(\forall \vec{u}, \vec{v} \in V_3)(\vec{u} \times \vec{v} = -\vec{v} \times \vec{u}),$
2. $\vec{i} \times \vec{i} = \vec{j} \times \vec{j} = \vec{k} \times \vec{k} = \vec{0}$ (deoarece unghiul dintre vectori este 0°),
3. $\vec{i} \times \vec{j} = \vec{k}, \vec{j} \times \vec{k} = \vec{i}, \vec{k} \times \vec{i} = \vec{j}$ (deoarece unghiul dintre vectori este 90°),
4. $\vec{u} \times \vec{v} = \begin{vmatrix} \vec{i} & \vec{j} & \vec{k} \\ u_x & u_y & u_z \\ v_x & v_y & v_z \end{vmatrix},$

■

Exercițiul 2.3

Fie $\vec{a} = 5\vec{i} - 3\vec{j} + \vec{k}$ și $\vec{b} = -\vec{i} - \vec{j} - 2\vec{k}$. Calculați $\vec{u} \times \vec{v}$. ■

Proprietatea 2.7

Doi vectori \vec{u} și \vec{v} sunt ortogonali (direcțiile lor sunt drepte perpendiculare) dacă produsul lor scalar este 0 : $\vec{u} \cdot \vec{v} = 0$. ■

Definiția 2.5 (Dependență liniară)

Fie $(\vec{v}_i)_{1 \leq i \leq n}$ vectori din spațiul vectorial (K, V) și $\vec{v} \in V$. Atunci vectorul \vec{v} este *liniar dependent* de vectorii $(\vec{v}_i)_{1 \leq i \leq n}$ dacă $(\exists (a_i \in K)_{1 \leq i \leq n})(\vec{v} = \sum_{i=1}^n a_i \vec{v}_i)$. Mai spunem că \vec{v} este o combinație liniară de vectorii $(\vec{v}_i)_{1 \leq i \leq n}$. ■

Observația 2.1

În spațiul vectorial (\mathbf{R}, V_3) orice vector \vec{v} depinde liniar de vectorii $\vec{i}, \vec{j}, \vec{k}$. ■

Definiția 2.6 ((In)dependență liniară)

Un sistem $(\vec{v}_i)_{1 \leq i \leq n}$ de vectori din spațiul vectorial (K, V) este *liniar dependent* dacă $(\exists (a_i \in K)_{1 \leq i \leq n})(\sum_{i=1}^n a_i \vec{v}_i = \vec{0})$ și este *liniar independent* dacă $(\forall (a_i \in K)_{1 \leq i \leq n})(\sum_{i=1}^n a_i \vec{v}_i = \vec{0} \iff (\forall 1 \leq i \leq n)(a_i = 0))$. ■

Proprietatea 2.8

Vectorii $\vec{i}, \vec{j}, \vec{k}$ sunt liniar independenți. ■

Demonstrație

Fie $(a_i \in \mathbf{R})_{1 \leq i \leq 3}$ astfel încât $a_1 \vec{i} + a_2 \vec{j} + a_3 \vec{k} = \vec{0}$. Atunci, efectuând înmulțirea scalară la dreapta cu \vec{i} , rezultă $a_1 \vec{i} \cdot \vec{i} + a_2 \vec{j} \cdot \vec{i} + a_3 \vec{k} \cdot \vec{i} = \vec{0} \cdot \vec{i} = 0$ și deci $a_1 = 0$. Analog se arată $a_2 = a_3 = 0$. □

Proprietatea 2.9

$(\forall \vec{v} \in V_3)(\exists (a_i \in \mathbf{R})_{1 \leq i \leq 3})(\vec{v} = a_1 \vec{i} + a_2 \vec{j} + a_3 \vec{k})$. ■

Demonstrație

$(a_i \in \mathbf{R})_{1 \leq i \leq 3}$ există și sunt unici cu proprietatea din enunț : $a_1 = \vec{v} \cdot \vec{i}, a_2 = \vec{v} \cdot \vec{j}, a_3 = \vec{v} \cdot \vec{k}$. □

Definiția 2.7 (Bază)

O *bază* a unui spațiu vectorial (K, V) este un sistem $B \subseteq V$ de vectori astfel încât orice vector din V se exprimă în mod unic ca o combinație liniară de elemente din B . ■

Observația 2.2

Sistemul $\{\vec{i}, \vec{j}, \vec{k}\}$ este o bază a spațiului vectorial (\mathbf{R}, V_3) . ■

Definiția 2.8 (Coordonate)

Fie $B = \{\vec{v}_1, \vec{v}_2, \dots, \vec{v}_n\}$ o bază în spațiul vectorial (K, V) . Atunci $\forall \vec{v} \in V, \exists (a_i \in K)_{1 \leq i \leq n}$ unice astfel încât $\vec{v} = \sum_{i=1}^n a_i \vec{v}_i$. Numim $(a_i)_{1 \leq i \leq n}$ *coordonatele* lui \vec{v} în raport cu baza B . ■

Definiția 2.9 (Baze ortogonale, ortonormale)

1. O bază $B = \{\vec{v}_1, \vec{v}_2, \dots, \vec{v}_n\}$ în spațiul vectorial (K, V) este *ortogonală* dacă vectorii bazei sunt ortogonali doi câte doi : $(\forall 1 \leq i < j \leq n)(\vec{v}_i \cdot \vec{v}_j = 0)$.
2. Baza B este *ortonormală* dacă este ortogonală și vectorii bazei sunt vectori unitate : $(\forall 1 \leq i \leq n)(|\vec{v}_i| = 1)$.

■

Observația 2.3

Sistemul $\{\vec{i}, \vec{j}, \vec{k}\}$ este o bază ortonormală a spațiului vectorial (\mathbf{R}, V_3) . ■

Capitolul 3

Aplicații liniare

În cele ce urmează reamintim câteva noțiuni legate de aplicațiile liniare.

Definiția 3.1

Se numește *aplicație liniară* o aplicație $A : V \rightarrow V'$ astfel încât $(\forall a \in \mathbf{R})(\forall \vec{u}, \vec{v} \in V)(A(\vec{u} + \vec{v}) = A(\vec{u}) + A(\vec{v}) \wedge A(a\vec{u}) = aA(\vec{u}))$. ■

Exemplul 3.1

Aplicația identică $I : V \rightarrow V, I(\vec{v}) = \vec{v}, \forall \vec{v} \in V$ este o aplicație liniară : $I(\vec{u} + \vec{v}) = \vec{u} + \vec{v} = I(\vec{u}) + I(\vec{v})$ și $I(a\vec{u}) = a\vec{u} = aI(\vec{u})$. ■

Definiția 3.2 (Operații definite pentru aplicații liniare)

Fie V, V' două spații vectoriale¹.

Fie $AL(V, V') = \{A \mid A : V \rightarrow V' \text{ și } A \text{ este aplicație liniară}\}$. Atunci $AL(V, V')$ este un spațiu vectorial :

1. Fie $A, B \in AL(V, V')$, $(A + B)(\vec{v}) = A(\vec{v}) + B(\vec{v})$, $(aA)(\vec{v}) = aA(\vec{v})$. Se poate arăta că $A + B$ și aA sunt aplicații liniare ($\in AL(V, V')$).
2. Produsul a două aplicații liniare se definește astfel : fie $A \in AL(V, V')$ și $B \in AL(V', V'')$, unde V, V', V'' sunt spații vectoriale. Definim $B \cdot A \in AL(V, V'')$ prin $(B \cdot A)(\vec{v}) = B(A(\vec{v}))$. ■

Definiția 3.3

O aplicație liniară $A \in AL(V, V)$ este *ortogonală* dacă $(\forall \vec{u}, \vec{v} \in V)(\vec{u} \cdot \vec{v} = A(\vec{u}) \cdot A(\vec{v}))$ i.e., lasă neschimbat produsul scalar al vectorilor. ■

Proprietatea 3.1

Fie $A \in AL(V, V)$ o aplicație liniară ortogonală. Atunci avem :

¹ dacă mulțimea scalarilor este subînțeleasă atunci o putem omite

1. $(\forall \vec{u} \in V)(|\vec{u}| = |A(\vec{u})|)$ i.e., lasă neschimbată lungimea vectorilor. Această proprietate rezultă din faptul că $1 = \cos \widehat{\vec{u}, \vec{u}} = \frac{\vec{u} \cdot \vec{u}}{|\vec{u}| |\vec{u}|} \iff \vec{u} \cdot \vec{u} = |\vec{u}| |\vec{u}| \iff |\vec{u}| = \sqrt{\vec{u} \cdot \vec{u}}$ și deci $|A(\vec{u})| = \sqrt{A(\vec{u}) \cdot A(\vec{u})} = \sqrt{\vec{u} \cdot \vec{u}} = |\vec{u}|$.
2. $(\forall \vec{u}, \vec{v} \in V)(\widehat{\vec{u}, \vec{v}} = \widehat{A(\vec{u}), A(\vec{v})})$. Se arată ca mai sus.

■

Exemplul 3.2

Se poate arăta că rotațiile sunt aplicații liniare ortogonale.

■

Definiția 3.4

Fie $A \in AL(V, V)$ o aplicație liniară. Dacă A este și izomorfism atunci A se numește *aplicație liniară regulată* :

$$ALR_1 \quad (\forall \vec{u}, \vec{v} \in V)(A(\vec{u} + \vec{v}) = A(\vec{u}) + A(\vec{v})),$$

$$ALR_2 \quad (\forall a \in K)(\forall \vec{v} \in V)(A(a\vec{v}) = aA(\vec{v})) \text{ și}$$

$$ALR_3 \quad A : V \rightarrow V \text{ este bijectivă.}$$

■

Proprietatea 3.2

Fie $B \subseteq V$ o bază a spațiului vectorial V . Fie $A \in AL(V, V)$ o aplicație liniară regulată. Atunci $A(B) \subseteq V$ este tot o bază în V .

■

Demonstrație

Fie $B = \{\vec{e}_1, \vec{e}_2, \dots, \vec{e}_n\}$. Fie $\vec{v} \in V$. Atunci $(\exists v_i \in K)_{1 \leq i \leq n}$ unice astfel încât $\vec{v} = \sum_{i=1}^n v_i \vec{e}_i$.

Deci $A(\vec{v}) = A(\sum_{i=1}^n v_i \vec{e}_i) = \sum_{i=1}^n A(v_i \vec{e}_i) = \sum_{i=1}^n v_i A(\vec{e}_i)$. Dar $A(V) = V$ (avem $A(V) \subseteq V$ și $V \subseteq A(V)$ deoarece A este surjectivă). Deci $\forall \vec{w} \in A(V)(= V)$, $(\exists w_i \in K)_{1 \leq i \leq n}$ unice $(\vec{w}_i = \vec{v}_i, \forall 1 \leq i \leq n)$ astfel încât $\vec{w} = \sum_{i=1}^n w_i \vec{e}_i$. Avem $|A(B)| = |B|$ deoarece A este bijectivă. Deci $A(B)$ este o bază în $A(V)$ și deci în V .

□

Proprietatea 3.3

Fie $A \in AL(V, V)$ o aplicație liniară ortogonală. Fie $B \subseteq V$ o bază ortonormală. Atunci $A(B)$ este tot o bază ortonormală.

■

Demonstrație

Fie $\vec{v}_1, \vec{v}_2 \in B$. Atunci avem $\vec{v}_1 \cdot \vec{v}_2 = 0$ și $|\vec{v}_1| = |\vec{v}_2| = 1$. Deoarece A este ortogonală avem $A(\vec{v}_1) \cdot A(\vec{v}_2) = \vec{v}_1 \cdot \vec{v}_2 = 0$. Deasemeni mai avem : $1 = |\vec{v}_1| = |A(\vec{v}_1)|$ și $1 = |\vec{v}_2| =$

$|A(\vec{v}_2)|$. Deci avem : $(\forall \vec{w}_1, \vec{w}_2 \in A(B))(|\vec{w}_1| = |\vec{w}_2| = 1 \wedge \vec{w}_1 \cdot \vec{w}_2 = 0)$. Evident avem și $|A(B)| = |B|$ deoarece vectorii din $A(B)$ sunt distincți (sunt ortogonali 2 câte 2).

Deci $A(B)$ este o bază ortonormală. □

Definiția 3.5

Fie matricea $A \in \mathcal{M}_{m \times n}(\mathbf{R})$. Numim A o matrice *ortogonală* dacă ${}^tA = A^{-1}$ i.e., $A \cdot {}^tA = I_m$. ■

Proprietatea 3.4

Fie matricea ortogonală $A \in \mathcal{M}_{m \times n}(\mathbf{R})$. Dacă interpretăm liniile (coloanele) matricii A ca vectori din \mathbf{R}^n (respectiv \mathbf{R}^m) atunci avem : $(\forall \vec{u}, \vec{v} \text{ linii(coloane) din } A)(\vec{u} \neq \vec{v} \Rightarrow \vec{u} \cdot \vec{v} = 0 \wedge \vec{u} = \vec{v} \Rightarrow \vec{u} \cdot \vec{v} = 1)$ i.e., liniile (coloanele) matricii A sunt o bază ortonormală în \mathbf{R}^n (respectiv \mathbf{R}^m). ■

Definiția 3.6

Fie $A \in \mathcal{M}_{m \times n}(\mathbf{R})$ o matrice ortogonală. Dacă $\det A = 1$ atunci A se numește *matrice ortogonală proprie*. ■

Exemplul 3.3

Se poate arăta că matricile rotațiilor 3D sunt matrici ortogonale proprii. ■

Capitolul 4

Lumină (a)cromatică

Culoarea unui obiect depinde nu numai de obiectul în sine ci și de sursa de lumină care îl luminează, de culoarea zonelor adiacente și de sistemul vizual uman.

Unele obiecte reflectă lumina (de ex. un perete, o foaie de hârtie) iar altele o transmit (de ex. o folie de celofan, sticla).

4.1 Lumină acromatică

Senzațiile vizuale acromatice pot fi descrise utilizând doar culorile negru, gri și alb.

Definiția 4.1

Lumină acromatică este ceea ce se poate observa pe un ecran TV sau monitor A/N¹. ■

Lumină acromatică are un singur atribut : *cantitatea*.

Definiția 4.2

Cantitatea de lumină poate fi descrisă prin conceptul fizic de *energie* (caz în care utilizăm termenii *intensitate* și *luminanță*) sau prin conceptul psihologic de *intensitate percepută* (caz în care utilizăm termenul de *strălucire*²). ■

Diverselor niveluri de intensitate li se asociază scalari : 0 (reprezentând culoarea neagră) și 1 (reprezentând culoarea albă). Nivelurile între 0 și 1 reprezintă nuanțe de gri.

4.1.1 Selectarea intensităților

În lucrul cu intensitățile luminii acromatice se pun 2 probleme :

¹alb/negru

²*brightness* în engleză

Problema 4.1

Dacă dorim să avem $n + 1$ niveluri de intensitate ($n \in \mathbf{N}$), cum le plasăm în intervalul $[0, 1]$? ■

Problema 4.2

În mod practic, de câte niveluri de intensitate este nevoie ? Câte niveluri de intensitate sunt suficiente ? ■

În cazul problemei 4.1, pag. 38 să presupunem că dorim să avem 256 ($n = 255$) niveluri de intensitate :

- Dacă am plasa 128 niveluri în $[0, 0.1]$ și alte 128 niveluri în $[0.9, 1]$ atunci trecerea de la intensitatea 0.1 la 0.9 ar apărea discontinuă (spre deosebire de celelalte tranziții).
- Dacă le-am plasa uniform în intervalul $[0, 1]$ (la distanță de $\frac{1}{255}$) atunci această alegere nu ar fi conformă cu o anumită caracteristică a ochiului uman :

Fapt 4.1 *Ochiul uman percepe nu atât valori absolute ale intensității cât rapoarte între intensități.*

Astfel trecerea de la intensitățile 0.1 și 0.5 la 0.11 și 0.55 este resimțită ca identică. În concluzie vom amplasa nivelurile de intensitate la distanțe logaritmice (și nu liniare) pentru a obține diferențe egale în strălucire, așa cum rezultă din figura 4.1, pag. 39.

Pentru obținerea celor $n + 1$ niveluri de intensitate procedăm astfel : fie I_0 nivelul de intensitate cel mai de jos posibil (din motive practice, pentru un CRT avem $I_0 \in [0.005, 0.025]$).

Alegem $I_1 = r \cdot I_0$, $I_2 = r \cdot I_1 = r^2 \cdot I_0$, ..., $I_j = r^j \cdot I_0$ ($0 \leq j \leq n$), ..., $I_n = r^n \cdot I_0 = 1$.
Deci $r = \left(\frac{1}{I_0}\right)^{\frac{1}{n}}$ și $I_j = r^j \cdot I_0 = I_0^{1-\frac{j}{n}} = I_0^{\frac{n-j}{n}}$, $0 \leq j \leq n$.

Exemplul 4.1

Dacă $n = 3$, $I_0 = \frac{1}{8}$ atunci $r = 2$ și avem nivelurile de intensitate : $\{\frac{1}{8}, \frac{1}{4}, \frac{1}{2}, 1\}$. ■

Definiția 4.3

Se numește *domeniu dinamic*³ valoarea $\frac{1}{I_0}$ (raportul dintre intensitatea maximă și minimă). ■

Observația 4.1

Din punct de vedere practic valoarea unui pixel și valoarea intensității sale calculată conform ecuației $I_j = r^j \cdot I_0$, $0 \leq j \leq n$ diferă. Se procedează astfel :

1. Intensitatea luminii pe ecranul unui CRT depinde de energia unei unde de electroni ce stimulează niște particule de fosfor. Practic avem $I = k_1 \cdot N^\gamma$, k_1, γ constante și $\gamma \in [2.2, 2.5]$.

³ *dynamic range* în engleză

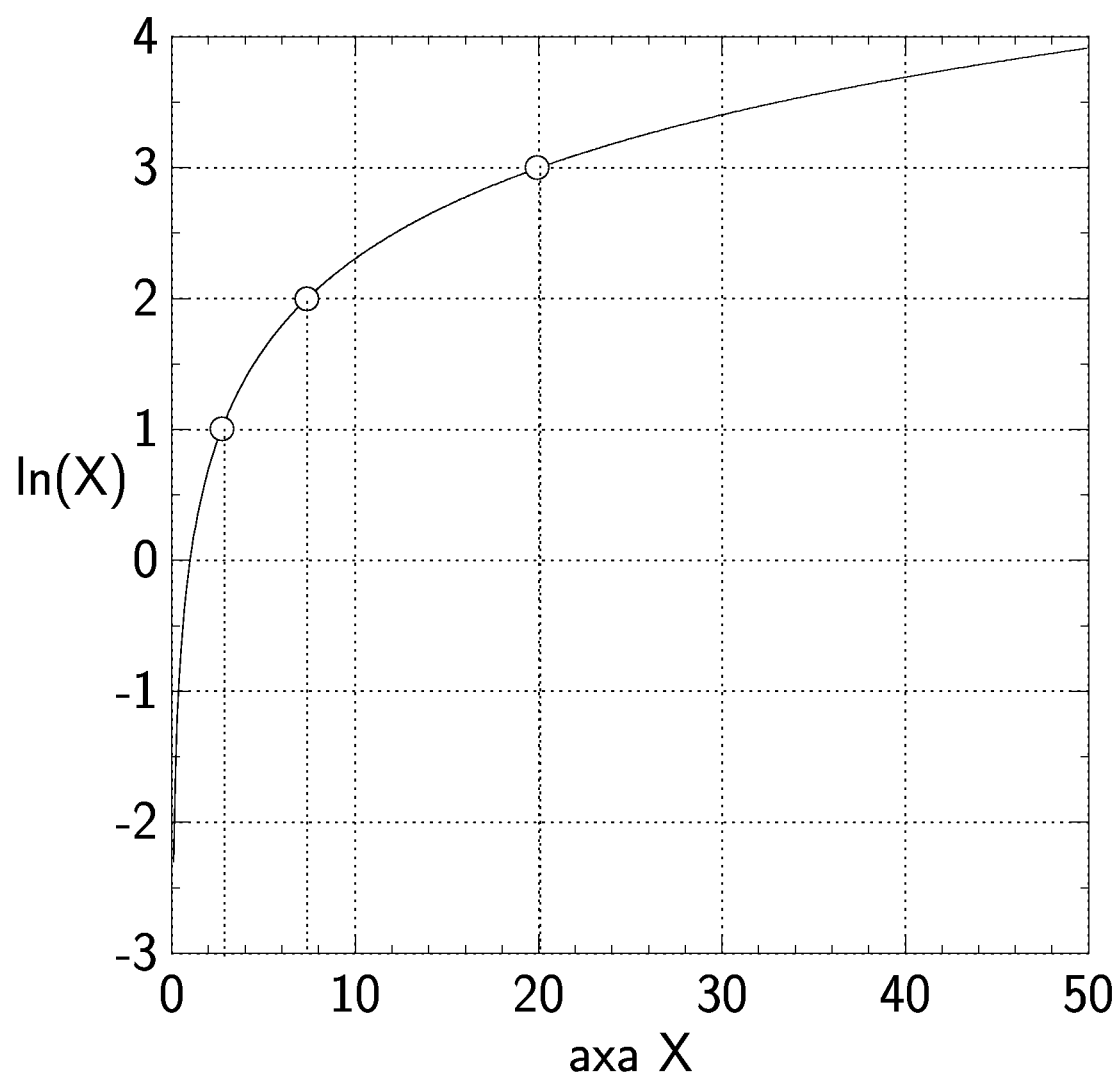


Figura 4.1: Amplasarea nivelurilor de intensitate

2. N este proporțională cu valoarea V a unui pixel și deci avem $I = K \cdot V^\gamma \Leftrightarrow V = \left(\frac{I}{K}\right)^{\frac{1}{\gamma}}$.
3. Să presupunem că dorim să determinăm valoarea V a unui pixel astfel încât aceasta să creeze intensitatea I . Se procedează astfel :
 - Determinăm j astfel încât intensitatea I_j este cea mai apropiată de I : $I = I_j = r^j \cdot I_0 \Rightarrow j = \left\lceil \log_r \left(\frac{I}{I_0} \right) \right\rceil$.
 - Deoarece $V = \left(\frac{I}{K}\right)^{\frac{1}{\gamma}}$ vom avea $V_j = \left[\left(\frac{I_j}{K}\right)^{\frac{1}{\gamma}} \right]$.

■

În cazul problemei 4.2, pag. 38 prin termenul de *suficient* ne gândim la numărul de intensități necesar pentru ca reproducerea unei imagini A/N (de ex. o fotografie A/N) să aibă un aspect *continuu* (i.e., între 2 pixeli vecini să nu existe diferențe mari de intensitate). Aspectul continuu este posibil doar pentru $r = 1.01$. S-a putut observa că dacă $r < 1.01$ ochiul nu poate distinge între intensitățile I_j și I_{j+1} . Deci, din ecuația $r = \left(\frac{1}{I_0}\right)^{\frac{1}{n}}$ obținem $r^n = \frac{1}{I_0} \Rightarrow n = \log_r \left(\frac{1}{I_0} \right)$ și deci $n = \log_{1.01} \left(\frac{1}{I_0} \right)$.

Câteva din valorile $\frac{1}{I_0}$ și n se regăsesc în tabelul 4.1, pag. 40.

	$\frac{1}{I_0}$	n
CRT	50 – 200	400 – 530
hârtie fotografică	100	465
hârtie A/N	100	465
hârtie culori	50	400
ziar A/N	10	234

Tabelul 4.1: Valori pentru $\frac{1}{I_0}$ și n

4.1.2 Aproximarea intensităților prin autotipie

Problema 4.3

În cazul ecranelor (sau al dispozitivelor de tipărire) nu putem avea decât un număr limitat de intensități (2 pentru ecrane monocrome sau 4, 8 dacă avem ecrane rastru cu 2, 3 biți/pixel). Cum putem obține, în aceste cazuri, niveluri de intensitate suplimentare ?

■

Pentru rezolvarea problemei 4.3, pag. 40 ne folosim de faptul că *ochiul realizează o integrare spațială* : dacă privim o zonă foarte mică de la o distanță suficient de mare atunci ochiul percepe o intensitate medie (și nu intensitatea fiecărui pixel în parte).

Tehnica de *autotipie*⁴ constă în simularea intensității prin cercuri negre de arie direct proporțională cu $1 - I$, unde I reprezintă valoarea intensității din fotografia originală. Aceasta tehnică se folosește, în general, pentru tipărirea fotografiilor A/N.

Dispozitivele de ieșire grafice pot aproxima cercurile de arie variabilă folosite în autotipie astfel : o zonă de 2×2 pixeli monocromi poate simula 5 niveluri de intensități diferite, cu prețul reducerii la jumătate a rezoluției spațiale⁵ pe fiecare axă (vezi figura 4.2, pag. 41).

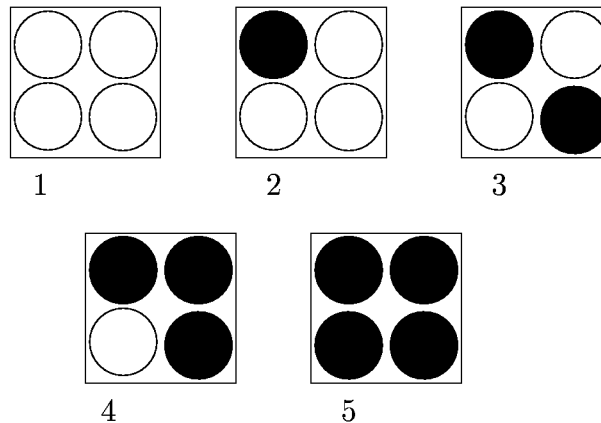


Figura 4.2: Simulare intensități

În general avem următoarea proprietate :

Proprietatea 4.1

Un grup de $n \times n$ pixeli monocromi poate furniza $n^2 + 1$ niveluri de intensitate. ■

Exemplul 4.2

O zonă de 3×3 pixeli monocromi poate simula 10 intensități : vezi figura 4.3, pag. 42.

Putem sintetiza aceste niveluri de intensitate într-o matrice de oscilație⁶ : $\begin{pmatrix} 6 & 8 & 4 \\ 1 & 0 & 3 \\ 5 & 2 & 7 \end{pmatrix}$, unde nivelul de intensitate I se obține setând toți pixelii cu valori mai mici decât I . ■

Putem avea mai multe modele pentru zonele de $n \times n$ pixeli utilizate în autotipie, dar aceste modele trebuie să satisfacă următoarele reguli :

- Un anumit model nu trebuie să introducă noi obiecte vizuale în zone de intensități egale. De exemplu, dacă în figura 4.3, pag. 42 în loc de modelul dat pentru 3 am fi utilizat modelul 3' am produce apariția unei linii orizontale în orice zonă a imaginii inițiale colorată uniform cu pixeli de intensitate 3.

⁴ *halftoning* în engleză

⁵ i.e., dacă o imagine era reprezentată pe $n \times n$ pixeli, fiecare pixel putând avea 5 intensități, în cazul când avem un ecran monocrom, pentru a avea o imagine la fel de detaliată avem nevoie de $2n \times 2n$ pixeli

⁶ *Dither matrix* în engleză

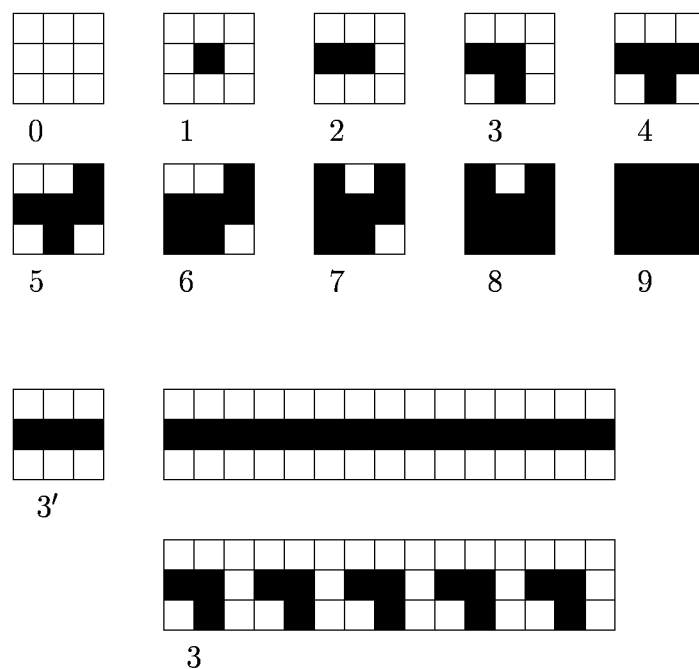


Figura 4.3: 10 niveluri de intensitate

- Modelele trebuie să alcătuiască o secvență crescătoare astfel încât dacă un pixel era intensificat pentru simularea nivelului de intensitate j atunci va rămâne intensificat și pentru toate nivelurile de intensitate $k > j$.
- Modelele trebuie să *crească* dinspre centru înspre exterior pentru a simula efectul de creștere a mărimii punctului.
- Pixelii setați (1) trebuie să fie grupați. Nu se admit pixeli 1 răsfirați.

Aproximarea diferitelor niveluri de intensitate nu se limitează doar la ecrane monocrome. În cazul unui ecran cu 2 biți pe pixel (i.e., 4 niveluri de intensitate pentru un pixel), dacă utilizăm zone de 2×2 pixeli, se pot simula 13 niveluri de intensitate (bineînțeles cu prețul reducerii rezoluției spațiale) : vezi figura 4.4, pag. 43.

4.2 Lumină cromatică

Percepția culorii implică 3 valori : *nuanță*⁷, *saturație*⁸, *luminozitate*⁹. Nuanța distinge familiile de culori : avem nuanțe de roșu, verde, albastru, etc. Saturația se referă la distanța culorii

⁷ *Hue* în engleză

⁸ *Saturation* în engleză

⁹ *Lightness* în engleză

0	0	1	0	1	0	1	1	1	1	2	1
0	0	0	0	0	1	0	1	1	1	1	1
0		1		2		3		4		5	

2	1	2	2	2	2	3	2	3	2	3	3	3	3
1	2	1	2	2	2	2	2	2	3	2	3	3	3
6		7		8		9		10		11		12	

Figura 4.4: 13 niveluri de intensitate

respective față de culoarea gri care are aceeași intensitate (de ex., culoarea roșie este puternic saturată iar cea roz este relativ nesaturată, adică mai apropiată de culoarea gri de aceeași intensitate). Luminozitatea reprezintă intensitatea percepută a unui obiect care reflectă lumina. Strălucirea¹⁰ se referă la intensitatea percepută a unui obiect care emite lumină (de ex., un bec, soarele, CRT).

Există mai multe modalități de specificare și de măsurare a culorilor :

- prin compararea culorii necunoscute cu un set de culori standard (modelul de culori Munsell¹¹),
- în modelul artistic culoarea este specificată prin 3 parametri : nuanță¹², umbrire¹³, ton¹⁴, vezi figura 4.5, pag. 44. O *nuanță* rezultă prin adăugarea culorii alb unei culori pure, astfel scăzând saturația. O *umbrire* provine din adăugarea de culoare neagră unei culori pure, astfel scăzând luminozitatea. Un *ton* este obținut adăugând atât culoarea alb cât și negru unei culori pure. Obținem astfel culori de aceeași nuanță (hue) dar cu saturație și luminozitate variabile. Amestecarea culorilor alb/negru produce culori gri.

4.2.1 Modele de culori pentru grafica rastru

Definiția 4.4

Un *model de culori* constă într-un sistem cartezian de coordonate 3D și o submulțime a \mathbf{R}^3 care conține toate culorile dintr-o anumită gamă de culori. ■

De exemplu, modelul RGB constă din cubul $[0, 1]^3$ definit într-un sistem de coordonate cartezian 3D.

¹⁰ *Brightness* în engleză

¹¹ *Munsell space* în engleză

¹² *Tint* în engleză

¹³ *Shade* în engleză

¹⁴ *Tone* în engleză

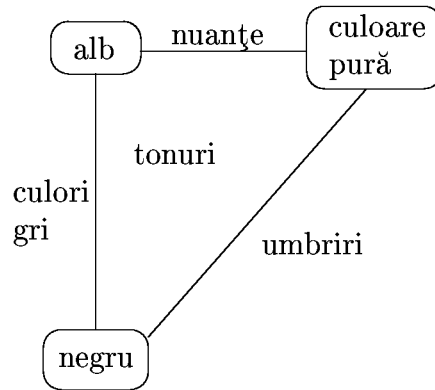


Figura 4.5: Modelul artistic

Modelul RGB

Modelul de culori RGB¹⁵ este utilizat pentru CRTs în culori precum și în grafica rastru. Spațiul de culori este cubul unitate $([0, 1] \times [0, 1] \times [0, 1])$ (vezi figura 4.6, pag. 45). O anumită culoare este reprezentată printr-un triplet de culori primare : (roșu, verde, albastru). Aceste culori primare sunt și *aditive* : fiecărei culori $C(r, g, b)$ îi corespunde bijectiv un punct din spațiul de culori RGB (punct care este dat de vectorul $r \cdot \vec{R} + g \cdot \vec{G} + b \cdot \vec{B}$, unde $\vec{R}, \vec{G}, \vec{B}$ sunt versori). Pe diagonala principală regăsim diverse nuanțe de gri.

Modelul HSV

Spre deosebire de alte modele de culori orientate spre hardware (de ex. RGB), modelul HSV¹⁶ este orientat spre utilizator, fiind apropiat de modelul artistic. Spațiul de culori HSV este o piramidă hexagonală într-un sistem de coordonate polar (vezi figura 4.7, pag. 46). Culorile gri sunt situate pe dreapta *black-white*.

O culoare este specificată în modelul HSV prin tripletul (h, s, v) , unde $h \in [0^\circ, 360^\circ)$, $s \in [0, 1]$ și $v \in [0, 1]$. Parametrul h (hue) semnifică nuanța culorii, s (saturation) specifică saturația culorii iar v (value) specifică strălucirea percepută a culorii. În modelul HSV, variind h alegem o culoare (dintr-o familie de culori), variind s modificăm saturația culorii (făcând-o să varieze între culoarea gri cu aceeași intensitate și culoarea pură) iar variind v variem contribuția culorii negre (variind astfel luminozitatea).

Correspondența dintre modelele RGB și HSV

Conversia culorilor din modelul RGB în HSV se efectuează proiectând cubul unitate RGB pe un plan perpendicular pe diagonala principală în punctul *white*.

¹⁵ *Red, Green, Blue* în engleză

¹⁶ *Hue, Saturation, Value* în engleză

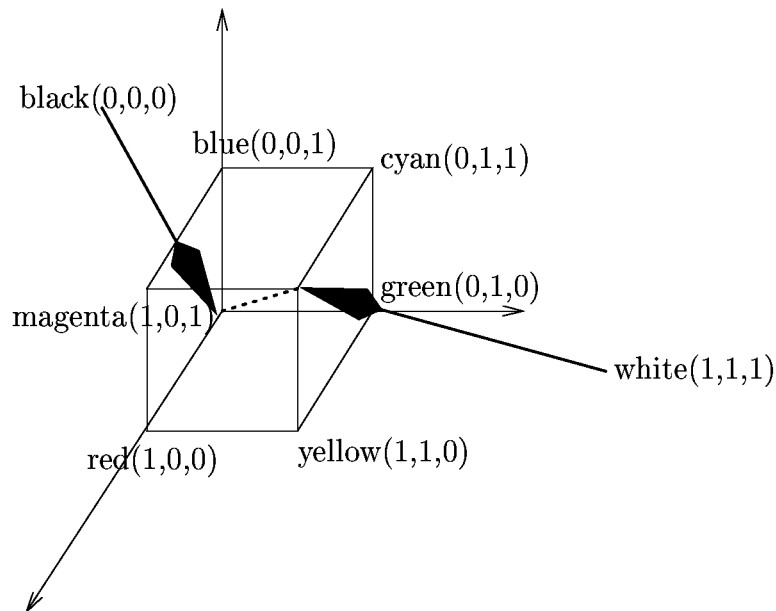


Figura 4.6: Modelul RGB

Algoritmul 1 (Conversia RGB în HSV)

Date de intrare : r, g, b : real

Date de ieșire : h, s, v : real

Metodă :

```

procedure RGBtoHSV(var h,s,v : real, r,g,b : real) {
  const int UNDEF = -1;
  real max, min, delta;

  max = valoarea_maxima(r,g,b);
  min = valoarea_minima(r,g,b);
  v = max;
  s = (max != 0.0) ? ((max - min)/max) : 0;
  if (s == 0) h = UNDEF;
  else {
    delta = max - min;
    if (delta == 0.0) { h = UNDEF; s = 0; v = 1; }
    if (max == 0) { h = s = UNDEF; v = 0; }
    if (r == max) h = (g - b) / delta;
    else if (g == max) h = (b - r) / delta + 2.0;
    else if (b == max) h = (r - g) / delta + 4.0;
    else {}
  }
}

```

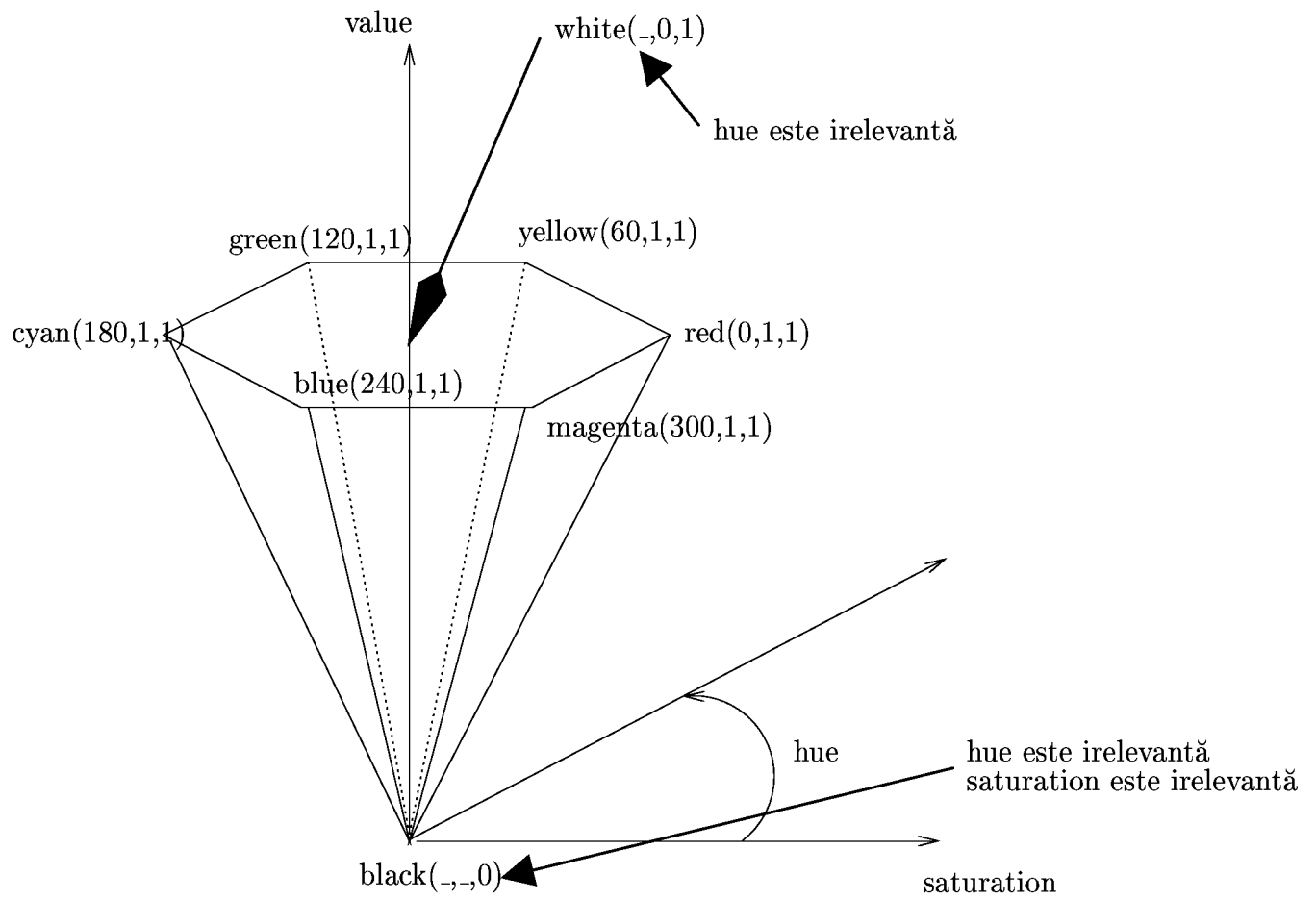


Figura 4.7: Modelul HSV

```

    h = h * 60;
    if (h < 0) h = h + 360;
}
}

```

Algoritmul 2 (Conversia HSV în RGB)

Date de intrare : h, s, v : real

Date de ieșire : r, g, b : real

Metodă :

```

procedure HSVtoRGB(var r,g,b : real, h,s,v : real) {
    const int UNDEF = -1;
    real f,p,q,t;
    int i;

    if (s == 0) {
        if (h == UNDEF) r = g = b = v;
        else printf("Eroare");
    }
    else {
        if (h == 360) h = 0;
        h = h / 60;
        i = floor(h);
        f = h - i;
        p = v * (1 - s);
        q = v * (1 - s * f);
        t = v * (1 - (s * (1 - f)));
        switch (i) {
            case 0 : r = v; g = t; b = p; break;
            case 1 : r = q; g = v; b = p; break;
            case 2 : r = p; g = v; b = t; break;
            case 3 : r = p; g = q; b = v; break;
            case 4 : r = t; g = p; b = v; break;
            case 5 : r = v; g = p; b = q; break;
        }
    }
}
}

```

4.2.2 Specificarea interactivă a culorii

În aplicațiile care utilizează culori pentru drepte, text, suprafețe, etc. există mai multe modalități (vezi figura 4.8, pag. 49) prin care se permite utilizatorului selectarea unei culori :

- Utilizatorul poate alege o culoare din mai multe mostre de culori (modelul indexat),
- Utilizatorul poate specifica coordonate R, G, B ,
- Utilizatorul poate specifica coordonate H, S, V .

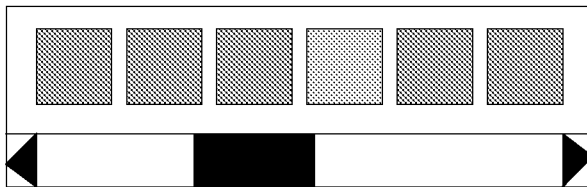
4.2.3 Utilizarea culorii în grafica pe calculator

Un *principiu fundamental* al utilizării culorii în diverse aplicații este următorul : utilizarea culorii trebuie să aibă un scop funcțional și să nu aibă un subînțeles.

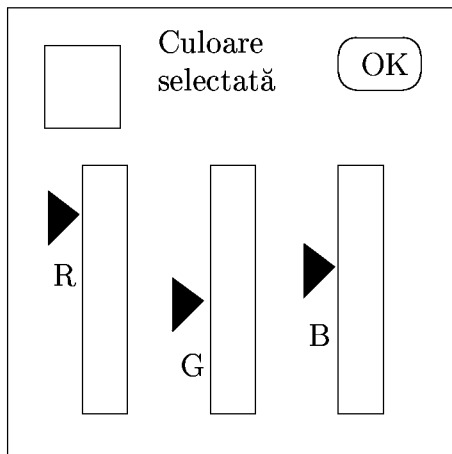
Reguli de estetică ale culorii

1. Culorile trebuie selectate conform unei anumite metode, de obicei prin traversarea unui drum continuu în modelul culorilor sau prin restricționarea culorilor la anumite planuri sau secțiuni hexagonale.
2. Nu se recomandă alegerea aleatoare a H, S .
3. Dacă pentru un grafic se utilizează câteva culori atunci se recomandă pentru fundal¹⁷ utilizarea unei culori care este complementară unei culori utilizate în grafic (culoarea complementara unei culori C este acea culoare care combinată cu C produce o culoare neutră : alb, gri sau negru. Pentru modelul RGB se obține prin simetrie față de centrul cubului iar pentru modelul HSV se obține prin simetrie față de centrul hexagonului). Dacă se utilizează mai multe culori atunci pentru fundal se recomandă culoarea gri.
4. Dacă alăturarea a 2 culori nu este armonioasă se recomandă utilizarea de chenare subțiri de culoare neagră.
5. Dacă dorim să asociem diverse înțelesuri culorilor atunci trebuie să luăm câteva precauții :
 - (a) Codurile culorilor pot avea înțelesuri implicite : de ex., *roșu* sugerează atenție, eroare, *verde* corect.
 - (b) Culorile strălucitoare denotă o importanță crescută asociată unui element.
 - (c) Două obiecte cu aceeași culoare pot fi interpretate ca având același cod (ceea ce nu e valabil întotdeauna).

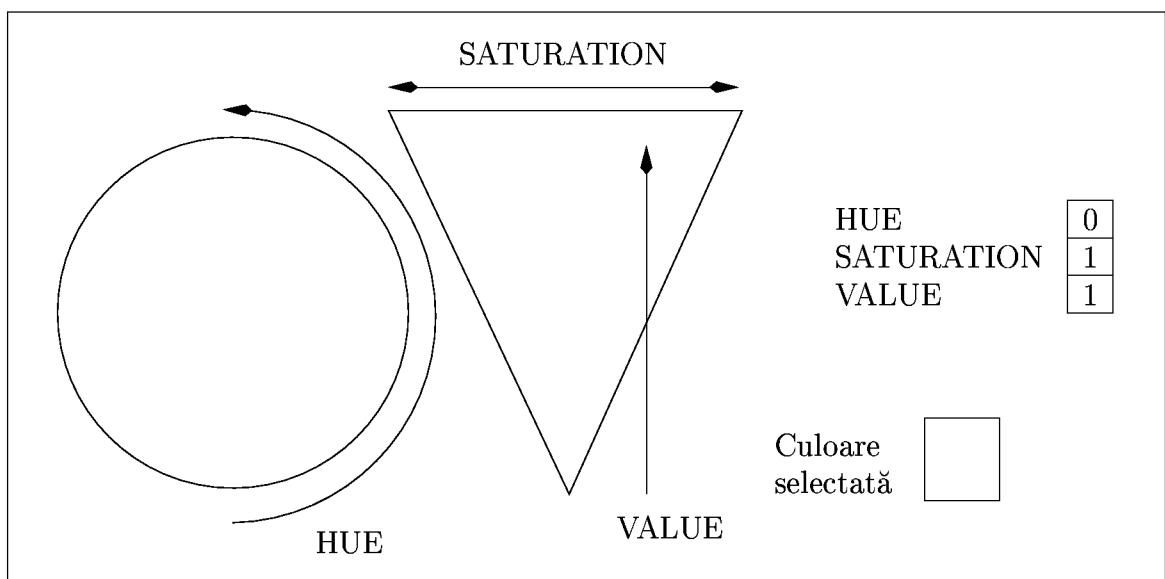
¹⁷ *Background* în engleză



Modelul indexat



Modelul RGB



Modelul HSV

Figura 4.8: Specificarea interactivă a culorii

6. Din regula 5, pag. 48 rezultă că utilizarea culorilor în meniuri, ferestre de dialog, chenare de ferestre trebuie să fie restricționată.
7. Detaliile fine (segmente de dreaptă, text) trebuie să difere de fundal nu doar în cromaticitate ci și în strălucire (în mod deosebit când se utilizează culori conținând albastru).
8. Combinații greșite de culori : albastru și negru (deoarece diferă foarte puțin în strălucire), galben și alb (idem). Combinații bune de culori : galben (pentru fundal) și negru (pentru text), text alb pe fundal albastru. Alte combinații greșite sunt : roșu și verde (când nu sunt strălucitoare pot crea probleme persoanelor care nu percep diferențe între cele două culori).
9. Ochiul nu poate distinge culoarea obiectelor foarte mici, deci nu se recomandă, într-o imagine colorarea pixelilor vecini cu culori distincte.
10. Culoarea percepută de către ochi a unei suprafețe este afectată de suprafața înconjurătoare. Se recomandă deci culori gri sau nesaturate pentru suprafețele înconjurătoare.
11. Culoarea unei suprafețe poate modifica mărimea sub care este percepută de către ochi (de ex., suprafețele colorate roșu sunt percepute ca fiind mai mari decât cele colorate verde).
12. Nu se recomandă utilizarea de suprafețe mari colorate cu o singură culoare.
13. Nu se recomandă colorarea a două suprafețe cu două culori de la capetele opuse ale spectrului (ROGVAIV) : de ex., roșu pentru fundal și albastru pentru prim-plan¹⁸. În acest caz roșu apare mai aproape iar albastru mai departe, invers față de ceea ce dorim.

¹⁸ *Foreground* în engleză

Capitolul 5

Transformări geometrice

În acest capitol introducem transformările geometrice 2D/3D de bază : *translația*, *scalarea* și *rotația*.

5.1 Transformări geometrice 2D

Definiția 5.1 (Translație)

Se numește *translație* (notată $T(d_x, d_y)$) o transformare geometrică care asociază oricărui punct $P(x, y)$ un punct $P'(x', y')$ cu proprietatea că $x' = x + d_x$, $y' = y + d_y$.

Putem exprima matricial acest lucru :

$$P' = P + T(d_x, d_y), \quad (5.1)$$

unde $P' = \begin{pmatrix} x' \\ y' \end{pmatrix}$, $P = \begin{pmatrix} x \\ y \end{pmatrix}$ și $T(d_x, d_y) = \begin{pmatrix} d_x \\ d_y \end{pmatrix}$.

Translația unui obiect se face efectuând translații ale fiecărui punct al obiectului utilizând ecuația 5.1, pag. 51.

Translația unei drepte se face efectuând translațiile a două puncte distincte aparținând dreptei. ■

Exercițiul 5.1

Ce se obține prin translația ($T(2, 0.5)$) poligonului cu vârfurile $A(1, 1)$, $B(2, 1)$, $C(2, 2)$, $D(1.5, 3)$, $E(1, 2)$ și muchiile AB, BC, CD, DE, EA ? ■

Definiția 5.2 (Scalare)

Se numește *scalare* (notată $S(s_x, s_y)$) o transformare geometrică care asociază oricărui punct $P(x, y)$ un punct $P'(x', y')$ cu proprietatea că $x' = x \cdot s_x$, $y' = y \cdot s_y$.

Putem exprima matricial acest lucru :

$$P' = S(s_x, s_y) \cdot P, \quad (5.2)$$

unde $P' = \begin{pmatrix} x' \\ y' \end{pmatrix}$, $P = \begin{pmatrix} x \\ y \end{pmatrix}$ și $S(s_x, s_y) = \begin{pmatrix} s_x & 0 \\ 0 & s_y \end{pmatrix}$.

O scalare este *diferențiată* dacă $s_x \neq s_y$ și este *uniformă* dacă $s_x = s_y$. ■

Observația 5.1

O scalare uniformă păstrează proporțiile obiectului. ■

Exercițiul 5.2

Ce se obține prin scalarea $(S(\frac{1}{3}, \frac{1}{2}))$ poligonului cu vârfurile $A(3, 2)$, $B(6, 2)$, $C(6, 4)$, $D(4, 6)$, $E(3, 4)$ și muchiile AB, BC, CD, DE, EA ? ■

Definiția 5.3 (Rotație)

Se numește *rotație* (notată $R(\theta)$) o transformare geometrică care asociază oricărui punct $P(x, y)$ un punct $P'(x', y')$ cu proprietatea că $x' = x \cdot \cos \theta - y \cdot \sin \theta$, $y' = x \cdot \sin \theta + y \cdot \cos \theta$.

Putem exprima matricial acest lucru :

$$P' = R(\theta) \cdot P, \quad (5.3)$$

unde $P' = \begin{pmatrix} x' \\ y' \end{pmatrix}$, $P = \begin{pmatrix} x \\ y \end{pmatrix}$ și $R(\theta) = \begin{pmatrix} \cos \theta & -\sin \theta \\ \sin \theta & \cos \theta \end{pmatrix}$.

Unghiurile θ se măsoară în sens trigonometric. ■

Exercițiul 5.3

Să se arate că transformarea de rotație este bine definită: în figura 5.1, pag. 53 se aplică o transformare de rotație $R(\theta)$ punctului $P(x, y)$. Se obține punctul $P'(x', y')$. Avem $OP = OP' = r$. Să se arate că P' are coordonatele date de ecuația 5.3, pag. 52. ■

5.2 Coordonate omogene și reprezentarea matricială a transformărilor 2D

Așa cum se poate observa, ecuațiile matriciale ale transformărilor geometrice translație (5.1, pag. 51), scalare (5.2, pag. 51) și rotație (5.3, pag. 52) *nu* au aceeași formă (în cazul translației este vorba de adunare de matrici iar în celelalte două cazuri de înmulțire de matrici). Acest lucru face dificilă exprimarea unor transformări geometrice compuse (de exemplu transformarea $R_1 T_1 R_2 S_1 T_2 R_3$, unde prin litere majuscule $\{T, S, R\}$ s-au notat tipurile de transformări). Pentru a ușura exprimarea matematică a unor astfel de transformări compuse vom trata în mod uniform transformările geometrice, mai precis acestea vor fi exprimate exclusiv prin produs de matrici.

Pentru aceasta vom exprima transformările geometrice nu în coordonate carteziane 2D ci în *coordonate omogene*.

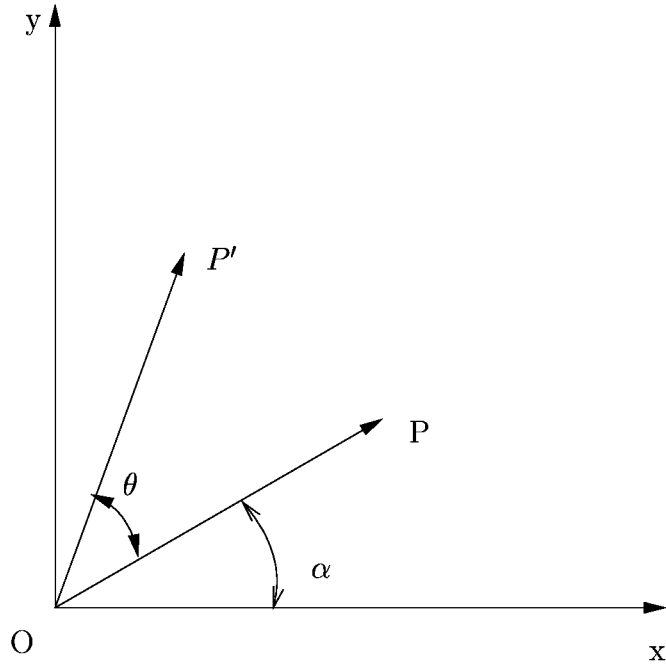


Figura 5.1: Transformarea de rotație este bine definită

Definiția 5.4 (Coordonate omogene)

Spațiul omogen 3D este spațiul cartezian 3D fără origine (punctul $(0, 0, 0)$) și deci tripletul (x, y, W) este un punct în *coordoanate omogene 3D* dacă $x \neq 0 \vee y \neq 0 \vee W \neq 0$.

Unui punct cartezian 2D îi pot corespunde mai multe puncte omogene 3D și anume : punctele omogene 3D (x, y, W) și (x', y', W') reprezintă același punct cartezian 2D ddacă $(\exists \alpha \neq 0)(x' = \alpha x \wedge y' = \alpha y \wedge W' = \alpha W)$.

Punctele $(x, y, 0)$ se numesc *puncte omogene la infinit*.

Numim transformare de *omogenizare* acea transformare care asociază unui punct omogen 3D (x, y, W) , $W \neq 0$, punctul omogen 3D $(\frac{x}{W}, \frac{y}{W}, 1)$. ■

Utilizând coordonatele omogene reformulăm definițiile transformărilor geometrice de mai sus.

Definiția 5.5 (Translație în coordonate omogene)

Se numește *translație* (notată $T(d_x, d_y)$) o transformare geometrică care asociază oricărui punct $P(x, y)$ un punct $P'(x', y')$ cu proprietatea că $x' = x + d_x$, $y' = y + d_y$.

Putem exprima matricial acest lucru :

$$P' = T(d_x, d_y) \cdot P, \quad (5.4)$$

$$\text{unde } P' = \begin{pmatrix} x' \\ y' \\ 1 \end{pmatrix}, P = \begin{pmatrix} x \\ y \\ 1 \end{pmatrix} \text{ și } T(d_x, d_y) = \begin{pmatrix} 1 & 0 & d_x \\ 0 & 1 & d_y \\ 0 & 0 & 1 \end{pmatrix}. \quad \blacksquare$$

Proprietatea 5.1

Compunerea translațiilor este o operație aditivă : dacă P' se obține din P prin translația $T(d_{x_1}, d_{y_1})$ iar P'' se obține din P' prin translația $T(d_{x_2}, d_{y_2})$ atunci P'' se obține din P prin translația $T(d_{x_1} + d_{x_2}, d_{y_1} + d_{y_2})$. ■

Demonstrație

Ca exercițiu. □

Definiția 5.6 (Scalare în coordonate omogene)

Se numește *scalare* (notată $S(s_x, s_y)$) o transformare geometrică care asociază oricărui punct $P(x, y)$ un punct $P'(x', y')$ cu proprietatea că $x' = x \cdot s_x$, $y' = y \cdot s_y$.

Putem exprima matricial acest lucru :

$$P' = S(s_x, s_y) \cdot P, \quad (5.5)$$

unde $P' = \begin{pmatrix} x' \\ y' \\ 1 \end{pmatrix}$, $P = \begin{pmatrix} x \\ y \\ 1 \end{pmatrix}$ și $S(s_x, s_y) = \begin{pmatrix} s_x & 0 & 0 \\ 0 & s_y & 0 \\ 0 & 0 & 1 \end{pmatrix}$. ■

Proprietatea 5.2

Compunerea scalarilor este o operație multiplicativă : dacă P' se obține din P prin scalarea $S(s_{x_1}, s_{y_1})$ iar P'' se obține din P' prin scalarea $S(s_{x_2}, s_{y_2})$ atunci P'' se obține din P prin scalarea $S(s_{x_1} \cdot s_{x_2}, s_{y_1} \cdot s_{y_2})$. ■

Demonstrație

Ca exercițiu. □

Definiția 5.7 (Rotație în coordonate omogene)

Se numește *rotație* (notată $R(\theta)$) o transformare geometrică care asociază oricărui punct $P(x, y)$ un punct $P'(x', y')$ cu proprietatea că $x' = x \cdot \cos \theta - y \cdot \sin \theta$, $y' = x \cdot \sin \theta + y \cdot \cos \theta$.

Putem exprima matricial acest lucru :

$$P' = R(\theta) \cdot P, \quad (5.6)$$

unde $P' = \begin{pmatrix} x' \\ y' \\ 1 \end{pmatrix}$, $P = \begin{pmatrix} x \\ y \\ 1 \end{pmatrix}$ și $R(\theta) = \begin{pmatrix} \cos \theta & -\sin \theta & 0 \\ \sin \theta & \cos \theta & 0 \\ 0 & 0 & 1 \end{pmatrix}$. ■

Proprietatea 5.3

Compunerea rotațiilor este o operație aditivă : dacă P' se obține din P prin rotația $R(\theta_1)$ iar P'' se obține din P' prin rotația $R(\theta_2)$ atunci P'' se obține din P prin rotația $R(\theta_1 + \theta_2)$. ■

Demonstrație

Ca exercițiu. □

Observația 5.2

Matricile transformărilor de rotație 2D/3D sunt matrici ortogonale proprii. ■

Proprietatea 5.4

1. O matrice de transformare de forma $\begin{pmatrix} r_{11} & r_{12} & t_x \\ r_{21} & r_{22} & t_y \\ 0 & 0 & 1 \end{pmatrix}$, unde matricea $\begin{pmatrix} r_{11} & r_{12} \\ r_{21} & r_{22} \end{pmatrix}$ este ortogonală, păstrează unghiurile și distanțele. Transformările asociate se numesc *transformări de corp rigid*¹.
2. O secvență arbitrară de matrici de rotație și de translație creează o matrice de forma de mai sus.
3. Produsul unei secvențe arbitrare de matrici de rotație, translație și scalare se numește *transformare afină* și păstrează doar paralelismul dreptelor (și nu unghiurile și distanțele).

Exemplul 5.1

În figura 5.2, pag. 55 este prezentată o transformare afină, printr-o rotație de -45° , urmată de scalare neuniformă. ■

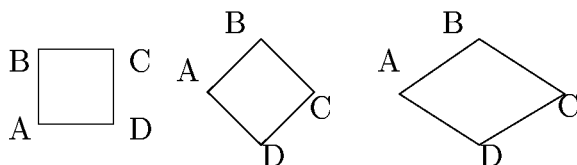


Figura 5.2: Transformare afină

Proprietatea 5.5

$R(\theta)$, $S(s_x, s_y)$, $T(d_x, d_y)$ sunt transformări afine. ■

Definiția 5.8 (Transformare forfecată)

Se numește *transformare forfecată* în lungul axei Ox (notată $SH_x(a)$) o transformare geometrică care asociază oricărui punct $P(x, y)$ un punct $P'(x', y')$ cu proprietatea că $x' = x + a \cdot y$, $y' = y$.

¹ *rigid-body transformation* în engleză

Putem exprima matricial acest lucru :

$$P' = SH_x(a) \cdot P, \quad (5.7)$$

unde $P' = \begin{pmatrix} x' \\ y' \\ 1 \end{pmatrix}$, $P = \begin{pmatrix} x \\ y \\ 1 \end{pmatrix}$ și $SH_x(a) = \begin{pmatrix} 1 & a & 0 \\ 0 & 1 & 0 \\ 0 & 0 & 1 \end{pmatrix}$.

O transformare forfecată în lungul axei Oy (notată $SH_y(b)$) este caracterizată matricial cu ajutorul matricii $SH_y(b) = \begin{pmatrix} 1 & 0 & 0 \\ b & 1 & 0 \\ 0 & 0 & 1 \end{pmatrix}$. ■

Exemplul 5.2

În figura 5.3, pag. 56 sunt prezentate transformări forfecate în direcția axelor Ox și Oy aplicate unui pătrat de latură 1. ■

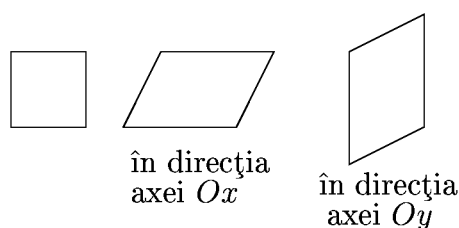


Figura 5.3: Transformări forfecate

5.3 Compunerea transformărilor 2D

Vom utiliza compunerea transformărilor 2D (înmulțirea matricilor aferente) pentru a combina transformările de translație, rotație, scalare într-o transformare generică pentru care dorim să-i calculăm matricea corespunzătoare.

Exemplul 5.3

În figura 5.4, pag. 57 este prezentată următoarea succesiune de transformări geometrice (care de fapt realizează rotația pentagonului în jurul punctului P_1) :

1. Translație obiect astfel încât P_1 să ajungă în originea sistemului de coordonate,
2. Rotație obiect,
3. Translație inversă astfel încât P_1 să ajungă în poziția inițială.

Pentru a obține matricea transformării generale compunem transformările 2D componente :
 $T(x_1, y_1) \cdot R(\theta) \cdot T(-x_1, -y_1)$ și obținem matricea $\begin{pmatrix} \cos \theta & -\sin \theta & x_1(1 - \cos \theta) + y_1 \sin \theta \\ \sin \theta & \cos \theta & y_1(1 - \cos \theta) + x_1 \sin \theta \\ 0 & 0 & 1 \end{pmatrix}$.
 Se verifică că este o transformare de corp rigid. ■

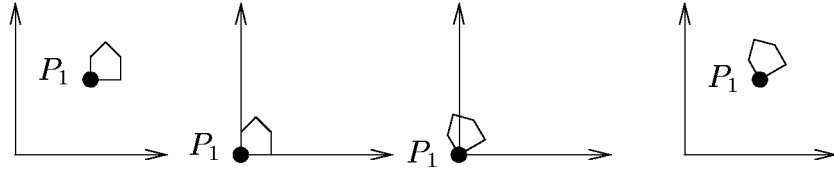


Figura 5.4: Rotația pentagonului în jurul P_1

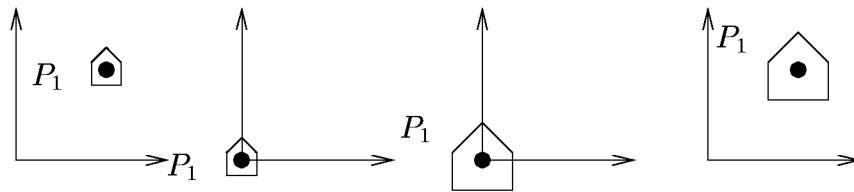


Figura 5.5: Scalarea pentagonului în raport cu P_1

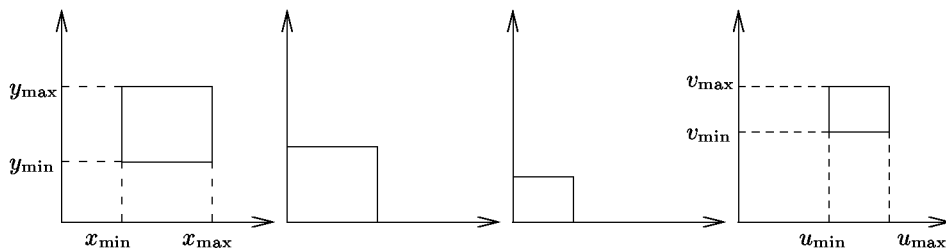


Figura 5.6: Transformarea window-viewport

Exemplul 5.4

În figura 5.5, pag. 57 este prezentată următoarea succesiune de transformări geometrice (care de fapt realizează scalarea pentagonului în raport cu punctul P_1) :

1. Translație obiect astfel încât P_1 să ajungă în originea sistemului de coordonate,
2. Scalare obiect,

3. Translație inversă astfel încât P_1 să ajungă în poziția inițială.

Pentru a obține matricea transformării generale compunem transformările 2D componente :

$T(x_1, y_1) \cdot S(s_x, s_y) \cdot T(-x_1, -y_1)$ și obținem matricea $\begin{pmatrix} s_x & 0 & x_1(1-s_x) \\ 0 & s_y & y_1(1-s_y) \\ 0 & 0 & 1 \end{pmatrix}$. Se verifică că este o transformare afină dar nu și de corp rigid. ■

Proprietatea 5.6

Dacă M_1 și M_2 reprezintă fie o translație, fie o rotație, fie o scalare atunci $M_1 \cdot M_2 = M_2 \cdot M_1$ în următoarele cazuri :

1. M_1 și M_2 sunt translații (deoarece translațiile sunt aditive),
2. M_1 și M_2 sunt scalări (deoarece scalările sunt multiplicative),
3. M_1 și M_2 sunt rotații (deoarece rotațiile sunt aditive),
4. M_1 este o scalare ($s_x = s_y$) și M_2 este o rotație.

■

Demonstrație
Ca exercițiu.

□

5.4 Transformarea window-viewport

Unele pachete grafice permit specificarea coordonatelor primitivelor de ieșire în *sistemul de coordonate al domeniului (universului) aplicației*² utilizând unități de măsură care au o semnificație în acest sistem de coordonate : microni, metri, ani lumină. *Universul (domeniul) aplicației* reprezintă o lume (univers) care este creată de către programul aplicației în mod interactiv sau este afișată (tot de către programul aplicației) pentru utilizator.

Apare astfel necesitatea *conversiei* coordonatelor din universul aplicației în coordonate ale dispozitivului de ieșire (ecran, etc.). Putem efectua această conversie în două moduri :

1. Programatorul poate furniza o matrice de transformare pentru realizarea conversiei,
2. Programatorul poate specifica o regiune dreptunghiulară în sistemul de coordonate al universului aplicației (*fereastra universului aplicației*³) și o regiune dreptunghiulară corespundătoare în coordonatele ecranului (dispozitiv de ieșire) denumită *viewport* în care fereastra universului aplicației va fi convertită. Această transformare este *universală* : se aplică tuturor primitivelor de ieșire din fereastra universului aplicației.

²*world-coordinate system* în engleză

³*world coordinate window* în engleză

Exemplul 5.5

În figura 5.7, pag. 59 am pus în evidență conversia ferestrei universului aplicației în viewport. Dacă fereastra universului aplicației și viewport-ul nu au același raport înălțime/lungime atunci apare o scalare neuniformă. ■



Figura 5.7: Conversia ferestrei universului aplicației în viewport

Problema 5.1

Dată o fereastră (a universului aplicației) și un viewport, care este matricea de transformare care atribuie un punct din sistemul de coordonate al universului aplicației unui punct din sistemul de coordonate ecran. ■

Soluție

Din punct de vedere grafic sunt efectuate următoarele transformări (vezi figura 5.6, pag. 57) :

1. translarea ferestrei universului aplicației astfel încât colțul din stânga jos al ferestrei să ajungă în originea sistemului de coordonate al universului aplicației,
2. scalarea ferestrei universului aplicației pentru a căpăta dimensiunile viewport-ului,
3. translație pentru poziționarea viewport-ului.

Obținem astfel următoarea matrice : $M_{WV} = T(u_{\min}, v_{\min}) \cdot S\left(\frac{u_{\max}-u_{\min}}{x_{\max}-x_{\min}}, \frac{v_{\max}-v_{\min}}{y_{\max}-y_{\min}}\right) \cdot$

$$T(-x_{\min}, -y_{\min}) = \begin{pmatrix} \frac{u_{\max}-u_{\min}}{x_{\max}-x_{\min}} & 0 & -x_{\min} \cdot \frac{u_{\max}-u_{\min}}{x_{\max}-x_{\min}} + u_{\min} \\ 0 & \frac{v_{\max}-v_{\min}}{y_{\max}-y_{\min}} & -y_{\min} \cdot \frac{v_{\max}-v_{\min}}{y_{\max}-y_{\min}} + v_{\min} \\ 0 & 0 & 1 \end{pmatrix}.$$

□

5.5 Eficiența transformărilor geometrice

O secvență $(R^*S^*T^*)^*$ de transformări geometrice produce o matrice M de forma :

$\begin{pmatrix} r_{11} & r_{12} & t_x \\ r_{21} & r_{22} & t_y \\ 0 & 0 & 1 \end{pmatrix}$, unde matricea $\begin{pmatrix} r_{11} & r_{12} \\ r_{21} & r_{22} \end{pmatrix}$ se obține prin compunerea rotațiilor R cu scalările S iar $t_{x,y}$ se obțin prin compunerea translațiilor T .

Înmulțirea $M \cdot P$, unde P reprezintă vectorul coordonatelor unui punct, necesită, în general, 9 operații de înmulțire și 6 operații de adunare. Deoarece ultimul rând al matricii M are forma $(0 \ 0 \ 1)$ atunci produsul $M \cdot P$ se realizează numai cu 4 operații de înmulțire și 4 operații de adunare : $x' = xr_{11} + yr_{12} + t_x$ și $y' = xr_{21} + yr_{22} + t_y$. Această reducere este utilă de exemplu în cazul în care transformarea M trebuie aplicată miilor de puncte dintr-o anumită figură geometrică sau atunci când dorim să creem imagini succesive ale unui obiect (moleculă, avion) rotit doar cu câteva grade între 2 imagini succesive.

În acest din urmă caz (al rotațiilor succesive doar cu câteva grade) putem ține cont de faptul că unghiul de rotație $\theta \approx 0^\circ$ și deci $\cos \theta \approx 1$. Obținem $x' = x - y \sin \theta$ și $y' = x \sin \theta + y$ și deci avem nevoie de 2 operații de înmulțire și 2 operații de adunare. Pentru a micșora erorile care apar după aplicarea acestor ecuații de un număr mare de ori, înlocuim în a doua ecuație pe x cu x' : $x' = x - y \sin \theta$, $y' = x' \sin \theta + y = x \sin \theta - y \sin^2 \theta + y = x \sin \theta + y \cos^2 \theta$.

5.6 Reprezentarea matricială a transformărilor 3D

Așa cum am reprezentat transformările 2D prin matrici $\in \mathcal{M}_{3 \times 3}(\mathbf{R})$ utilizând coordonate omogene așa și transformările 3D pot fi reprezentate prin matrici $\in \mathcal{M}_{4 \times 4}(\mathbf{R})$ dacă utilizăm reprezentarea în coordonate omogene a punctelor din spațiul 3D.

Definiția 5.9 (Coordonate omogene)

Spațiul omogen 4D este spațiul cartezian 4D fără origine (punctul $(0, 0, 0, 0)$) și deci triplețul (x, y, z, W) este un punct în *coordonate omogene* 4D dacă $x \neq 0 \vee y \neq 0 \vee z \neq 0 \vee W \neq 0$.

Unui punct cartezian 3D îi pot corespunde mai multe puncte omogene 4D și anume : punctele omogene 4D (x, y, z, W) și (x', y', z', W') reprezintă același punct cartezian 3D ddacă $(\exists \alpha \neq 0)(x' = \alpha x \wedge y' = \alpha y \wedge z' = \alpha z \wedge W' = \alpha W)$.

Punctele $(x, y, z, 0)$ se numesc *puncte omogene la infinit*.

Numim transformare de *omogenizare* acea transformare care asociază unui punct omogen 4D (x, y, z, W) , $W \neq 0$, punctul omogen 4D $(\frac{x}{W}, \frac{y}{W}, \frac{z}{W}, 1)$. ■

Observația 5.3

Un *sistem de coordonate cartezian* se definește prin originea O și trei axe perpendiculare Ox, Oy, Oz , orientate după regula mâinii drepte sau după regula mâinii stângi (vezi figura 5.8, pag. 61). ■

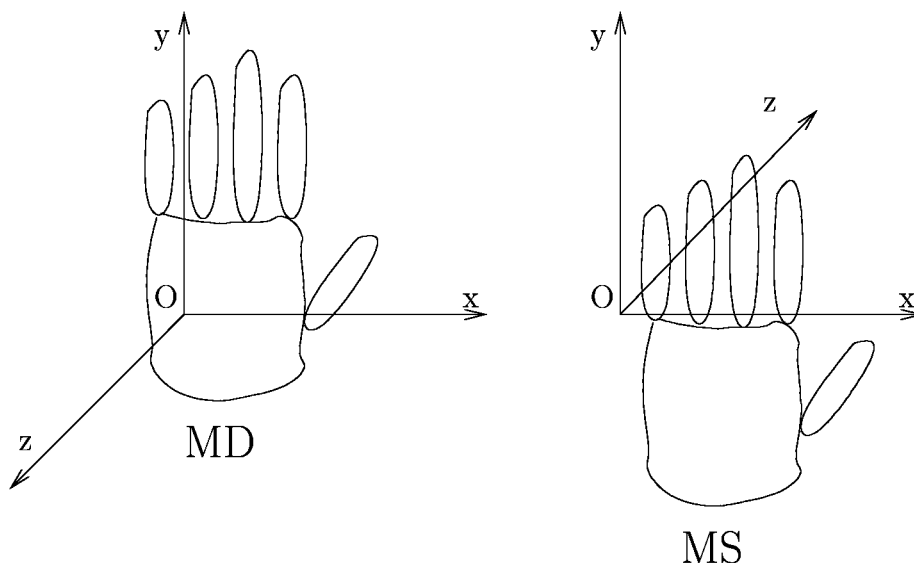


Figura 5.8: Regulile mâinii drepte și stângi

Definiția 5.10 (Translație 3D în coordonate omogene)

Se numește *translație* (notată $T(d_x, d_y, d_z)$) o transformare geometrică care asociază oricărui punct $P(x, y, z)$ un punct $P'(x', y', z')$ cu proprietatea că $x' = x + d_x$, $y' = y + d_y$ și $z' = z + d_z$.

Putem exprima matricial acest lucru :

$$P' = T(d_x, d_y, d_z) \cdot P, \quad (5.8)$$

$$\text{unde } P' = \begin{pmatrix} x' \\ y' \\ z' \\ 1 \end{pmatrix}, P = \begin{pmatrix} x \\ y \\ z \\ 1 \end{pmatrix} \text{ și } T(d_x, d_y, d_z) = \begin{pmatrix} 1 & 0 & 0 & d_x \\ 0 & 1 & 0 & d_y \\ 0 & 0 & 1 & d_z \\ 0 & 0 & 0 & 1 \end{pmatrix}. \quad \blacksquare$$

Definiția 5.11 (Scalare 3D în coordonate omogene)

Se numește *scalare* (notată $S(s_x, s_y, s_z)$) o transformare geometrică care asociază oricărui punct $P(x, y, z)$ un punct $P'(x', y', z')$ cu proprietatea că $x' = x \cdot s_x$, $y' = y \cdot s_y$ și $z' = z \cdot s_z$.

Putem exprima matricial acest lucru :

$$P' = S(s_x, s_y, s_z) \cdot P, \quad (5.9)$$

unde $P' = \begin{pmatrix} x' \\ y' \\ z' \\ 1 \end{pmatrix}$, $P = \begin{pmatrix} x \\ y \\ z \\ 1 \end{pmatrix}$ și $S(s_x, s_y, s_z) = \begin{pmatrix} s_x & 0 & 0 & 0 \\ 0 & s_y & 0 & 0 \\ 0 & 0 & s_z & 0 \\ 0 & 0 & 0 & 1 \end{pmatrix}$. ■

Definiția 5.12 (Rotație 3D în coordonate omogene)

Transformarea de *rotație 3D* se obține prin trei tipuri de rotații :

1. Rotația în raport cu axa Oz , dată prin matricea $R_z(\theta) = \begin{pmatrix} \cos \theta & -\sin \theta & 0 & 0 \\ \sin \theta & \cos \theta & 0 & 0 \\ 0 & 0 & 1 & 0 \\ 0 & 0 & 0 & 1 \end{pmatrix}$
 2. Rotația în raport cu axa Ox , dată prin matricea $R_x(\theta) = \begin{pmatrix} 1 & 0 & 0 & 0 \\ 0 & \cos \theta & -\sin \theta & 0 \\ 0 & \sin \theta & \cos \theta & 0 \\ 0 & 0 & 0 & 1 \end{pmatrix}$
 3. Rotația în raport cu axa Oy , dată prin matricea $R_y(\theta) = \begin{pmatrix} \cos \theta & 0 & \sin \theta & 0 \\ 0 & 1 & 0 & 0 \\ -\sin \theta & 0 & \cos \theta & 0 \\ 0 & 0 & 0 & 1 \end{pmatrix}$
-

Proprietatea 5.7

Matricile formate din primele trei linii și trei coloane ale matricilor $R_x(\theta)$, $R_y(\theta)$, $R_z(\theta)$ sunt matrici ortogonale proprii. Aceeași proprietate o are orice matrice corespunzătoare unei secvențe arbitrare de transformări de rotație. În concluzie, o secvența arbitrară de transformări de rotație păstrează unghiurile și distanțele. ■

Demonstrație

Ca exercițiu.

□

Proprietatea 5.8

Transformările geometrice inverse⁴ translației $T(d_x, d_y, d_z)$, scalării $S(s_x, s_y, s_z)$ sau rotației $R_{x,y,z}(\theta)$ sunt respectiv $T(-d_x, -d_y, -d_z)$, $S(\frac{1}{s_x}, \frac{1}{s_y}, \frac{1}{s_z})$ și $R_{x,y,z}(-\theta)$. ■

⁴produsul matricilor respective este matricea identitate I_4

Demonstrație

Ca exercițiu.

□

Proprietatea 5.9

Fie B matricea corespunzătoare unei secvențe arbitrare de transformări de rotație. Atunci avem $B^{-1} = {}^tB$. ■

Demonstrație

Ca exercițiu.

□

Definiția 5.13 (Transformare forfecată 3D)

Se numește *transformare forfecată* în raport cu axele Ox, Oy (notată $SH_{xy}(sh_x, sh_y)$) o transformare geometrică care asociază oricărui punct $P(x, y, z)$ un punct $P'(x', y', z')$ cu proprietatea că $x' = x + sh_x \cdot z$, $y' = y + sh_y \cdot z$, $z' = z$.

Putem exprima matricial acest lucru :

$$P' = SH_{xy}(sh_x, sh_y) \cdot P, \quad (5.10)$$

$$\text{unde } P' = \begin{pmatrix} x' \\ y' \\ z' \\ 1 \end{pmatrix}, P = \begin{pmatrix} x \\ y \\ z \\ 1 \end{pmatrix} \text{ și } SH_{xy}(sh_x, sh_y) = \begin{pmatrix} 1 & 0 & sh_x & 0 \\ 0 & 1 & sh_y & 0 \\ 0 & 0 & 1 & 0 \\ 0 & 0 & 0 & 1 \end{pmatrix}.$$

O transformare forfecată în raport cu axele Ox, Oz (notată $SH_{xz}(sh_x, sh_z)$) este caracterizată matricial cu ajutorul matricii $SH_{xz}(sh_x, sh_z) = \begin{pmatrix} 1 & sh_x & 0 & 0 \\ 0 & 1 & 0 & 0 \\ 0 & sh_z & 1 & 0 \\ 0 & 0 & 0 & 1 \end{pmatrix}$.

O transformare forfecată în raport cu axele Oy, Oz (notată $SH_{yz}(sh_y, sh_z)$) este caracterizată matricial cu ajutorul matricii $SH_{yz}(sh_y, sh_z) = \begin{pmatrix} 1 & 0 & 0 & 0 \\ sh_x & 1 & 0 & 0 \\ sh_z & 0 & 1 & 0 \\ 0 & 0 & 0 & 1 \end{pmatrix}$. ■

Observația 5.4

1. Transformarea geometrică a unui segment de dreaptă se face efectuând transformarea extremităților segmentului și apoi trasând segmentul prin cele două puncte.
2. Transformarea geometrică a unui plan se face alegând trei puncte necoliniare din plan și aplicând transformarea geometrică acestor trei puncte.
3. Pentru transformarea geometrică a unui plan putem proceda și mai simplu : să presupunem că ecuația planului este $Ax + By + Cz + D = 0$. Putem reprezenta această ecuație în două moduri :

(a) ca un produs scalar : $N \cdot P = 0$, unde $N = \begin{pmatrix} A \\ B \\ C \\ D \end{pmatrix}$ și $P = \begin{pmatrix} x \\ y \\ z \\ 1 \end{pmatrix}$,

(b) ca un produs de matrici : ${}^tN \cdot P = 0$.

Fie M matricea de transformare și să presupunem că dorim pentru planul transformat să avem o ecuație similară cu cea de mai sus : ${}^tN' \cdot P' = 0$, unde $P' = M \cdot P$. Să presupunem că N' este obținută prin aplicarea transformării Q : $N' = Q \cdot N$. Deci avem ${}^t(QN)MP = 0 \iff {}^tN^tQMP = 0 \Rightarrow {}^tQM = \lambda I$. Presupunem că ${}^tQM = I \Rightarrow {}^tQ = M^{-1} \iff Q = {}^t(M^{-1})$. Deci $N' = {}^t(M^{-1})N$, în cazul în care există matricea inversă M^{-1} .

■

5.7 Compunerea transformărilor 3D

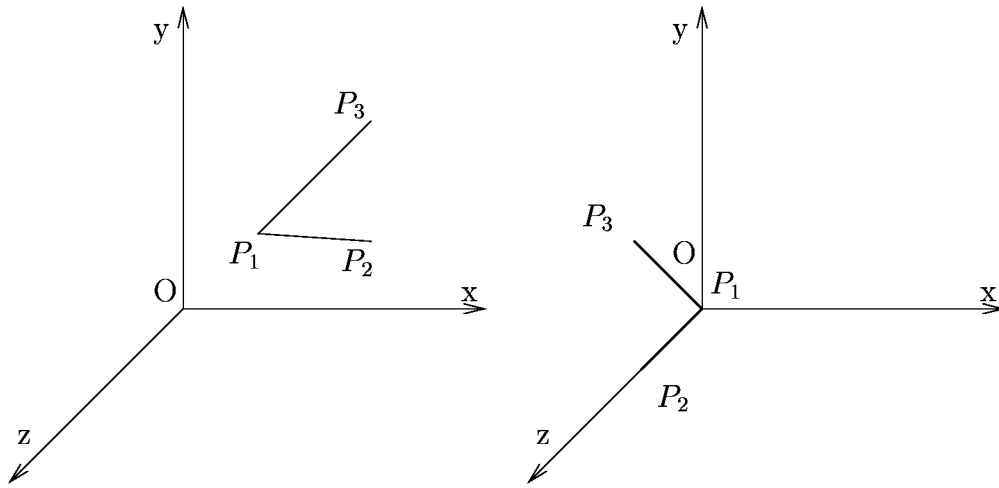


Figura 5.9: Transformare 3D compusă

Fie problema următoare :

Problema 5.2

Să se obțină o matrice de transformare astfel încât segmentele P_1P_2 și P_1P_3 (și planul determinat de aceste puncte) să se transforme așa cum este arătat în figura 5.9, pag. 64 : în poziția finală segmentul P_1P_2 se află pe axa Oz iar P_1P_3 se află în planul Oyz (în cadranul I). În plus, dorim să nu afectăm, prin această transformare, lungimea segmentelor (i.e., să fie o transformare de corp rigid).

■

Soluție

Vom împărți această problemă în probleme mai simple :

1. Translarea punctului P_1 în originea sistemului de coordonate. Obținem astfel punctele $(P'_i)_{1 \leq i \leq 3}$.
2. Rotație în jurul axei Oy astfel încât $P'_1 P'_2 \in Oyz$. Obținem astfel punctele $(P''_i)_{1 \leq i \leq 3}$.
3. Rotație în jurul axei Ox astfel încât $P''_1 P''_2 \in Oz$. Obținem astfel punctele $(P'''_i)_{1 \leq i \leq 3}$.
4. Rotație în jurul axei Oz astfel încât $P'''_1 P'''_3 \in Oyz$.

Problema 1, pag. 65 se rezolvă aplicând transformarea $T(-x_1, -y_1, -z_1)$. Punctele $(P_i)_{1 \leq i \leq 3}$ devin punctele $(P'_i)_{1 \leq i \leq 3}$, unde $P'_1 = \begin{pmatrix} 0 \\ 0 \\ 0 \\ 1 \end{pmatrix}$, $P'_2 = \begin{pmatrix} x_2 - x_1 \\ y_2 - y_1 \\ z_2 - z_1 \\ 1 \end{pmatrix}$ și $P'_3 = \begin{pmatrix} x_3 - x_1 \\ y_3 - y_1 \\ z_3 - z_1 \\ 1 \end{pmatrix}$.

Problema 2, pag. 65 se rezolvă astfel : fie $Q(x'_2, 0, z'_2)$ proiecția punctului P'_2 pe planul Oxz . Fie $D_1 = |P'_1 Q| = \sqrt{x'^2_2 + z'^2_2} = \sqrt{(x_2 - x_1)^2 + (z_2 - z_1)^2}$. Efectuăm o rotație în jurul axei Oy astfel încât $\widehat{P'_2 P'_1} \in Oyz$ iar proiecția punctului P'_2 pe planul Oxz să se găsească pe axa Oz . Fie θ unghiul $\widehat{QP'_1, Ox}$. Vom aplica o rotație de unghi $-(90 - \theta) : R_y(\theta - 90)$ și vom obține

matricea $\begin{pmatrix} \cos(\theta - 90) & 0 & \sin(\theta - 90) & 0 \\ 0 & 1 & 0 & 0 \\ -\sin(\theta - 90) & 0 & \cos(\theta - 90) & 0 \\ 0 & 0 & 0 & 1 \end{pmatrix}$ și deci matricea $\begin{pmatrix} \frac{z_2 - z_1}{D_1} & 0 & -\frac{x_2 - x_1}{D_1} & 0 \\ 0 & 1 & 0 & 0 \\ \frac{x_2 - x_1}{D_1} & 0 & \frac{z_2 - z_1}{D_1} & 0 \\ 0 & 0 & 0 & 1 \end{pmatrix}$.

Punctele $(P'_i)_{1 \leq i \leq 3}$ devin punctele $(P''_i)_{1 \leq i \leq 3}$, unde, de exemplu $P''_2 = \begin{pmatrix} 0 \\ y_2 - y_1 \\ D_1 \\ 1 \end{pmatrix}$ (evident

$P''_2 \in Oyz$).

Problema 3, pag. 65 se rezolvă aplicând o rotație în jurul axei Ox de unghi $\varphi = \widehat{P''_1 P''_2, Oz} : R_x(\varphi)$. Unghiul φ se obține știind că $\cos \varphi = \frac{z''_2}{D_2}$ și $\sin \varphi = \frac{y''_2}{D_2}$, unde $D_2 = \sqrt{y''^2_2 + z''^2_2} = \sqrt{(y_2 - y_1)^2 + D_1^2} = \sqrt{(x_2 - x_1)^2 + (y_2 - y_1)^2 + (z_2 - z_1)^2}$. Deci $\sin \varphi = \frac{y_2 - y_1}{D_2}$ și $\cos \varphi = \frac{D_1}{D_2}$.

Obținem deci matricea $\begin{pmatrix} 1 & 0 & 0 & 0 \\ 0 & \frac{D_1}{D_2} & -\frac{y_2 - y_1}{D_2} & 0 \\ 0 & \frac{y_2 - y_1}{D_2} & \frac{D_1}{D_2} & 0 \\ 0 & 0 & 0 & 1 \end{pmatrix}$. În concluzie, punctele $(P''_i)_{1 \leq i \leq 3}$ devin

punctele $(P_i''')_{1 \leq i \leq 3}$, unde, de exemplu $P_2''' = \begin{pmatrix} 0 \\ 0 \\ D_2 \\ 1 \end{pmatrix}$, unde $D_2 = |P_1'P_2'| = |P_1P_2|$.

Problema 4, pag. 65 se rezolvă aplicând o rotație $R_z(\alpha)$, unde $\alpha = \widehat{OQ, Oy}$ iar Q este proiecția pe planul Oxy a punctului P_3''' . Fie $D_3 = |OQ| = \sqrt{x_3'''^2 + y_3'''^2}$ și atunci avem $\cos \alpha = \frac{y_3'''}{D_3}$ și $\sin \alpha = \frac{x_3'''}{D_3}$.

În concluzie, matricea transformării este $R_z(\alpha)R_x(\varphi)R_y(\theta - 90)T(-x_1, -y_1, -z_1)$ și este

$$\text{matricea} \begin{pmatrix} \frac{z_2 - z_1}{D_1} & 0 & -\frac{x_2 - x_1}{D_1} & \frac{x_2 z_1 - x_1 z_2}{D_1} \\ -\frac{(x_2 - x_1)(y_2 - y_1)}{D_1 D_2} & \frac{D_1}{D_2} & -\frac{(y_2 - y_1)(z_2 - z_1)}{D_1 D_2} & \frac{(y_1 - y_2)(x_1^2 + z_1^2 - x_1 x_2 - y_1 z_2)}{D_1 D_2} - \frac{y_1 y_2}{D_2} \\ \frac{x_2 - x_1}{D_2} & \frac{y_2 - y_1}{D_2} & \frac{z_2 - z_1}{D_2} & \frac{x_1^2 + y_1^2 + z_1^2 - x_1 x_2 - y_1 y_2 - z_1 z_2}{D_2} \\ 0 & 0 & 0 & 1 \end{pmatrix}.$$

□

5.8 Transformări geometrice văzute ca transformări ale sistemului de coordonate

Putem vedea transformările geometrice în două moduri :

1. Ca o transformare a unei mulțimi de puncte în altă mulțime de puncte, în același sistem de coordonate.
2. Ca o schimbare a sistemului de coordonate. Această modalitate de a vedea transformările geometrice este utilă în cazul în care dorim să combinăm diverse obiecte, fiecare definite în propriul sistem de coordonate și se dorește exprimarea coordonatelor acestor obiecte într-un singur sistem global de coordonate.

Fie $M_{i \leftarrow j}$ transformarea care convertește reprezentarea unui punct din sistemul de coordonate j în reprezentarea sa în sistemul de coordonate i . Fie $P^{(i)}, P^{(j)}, P^{(k)}$ reprezentările unui punct în sistemele de coordonate i, j, k . Avem atunci relațiile $P^{(i)} = M_{i \leftarrow j} \cdot P^{(j)}$ și $P^{(j)} = M_{j \leftarrow k} \cdot P^{(k)}$ pe baza cărora putem obține $P^{(i)} = M_{i \leftarrow j} \cdot P^{(j)} = M_{i \leftarrow j} \cdot M_{j \leftarrow k} \cdot P^{(k)} = M_{i \leftarrow k} \cdot P^{(k)}$. Deci se obține $M_{i \leftarrow k} = M_{i \leftarrow j} \cdot M_{j \leftarrow k}$.

Exemplul 5.6

În figura 5.10, pag. 67 avem patru sisteme de coordonate diferite. Avem relațiile : $M_{1 \leftarrow 2} = T(4, 2)$, $M_{2 \leftarrow 3} = T(2, 3) \cdot S(\frac{1}{2}, \frac{1}{2})$, $M_{3 \leftarrow 4} = T(8 - \sqrt{2}, 6 - 3\sqrt{2}) \cdot R(+45^\circ)$. Deci $M_{1 \leftarrow 3} = M_{1 \leftarrow 2} \cdot M_{2 \leftarrow 3} = T(4, 2) \cdot T(2, 3) \cdot S(\frac{1}{2}, \frac{1}{2})$. În plus avem $P^{(1)}(10, 8)$, $P^{(2)}(6, 6)$, $P^{(3)}(8, 6)$ și $P^{(4)}(4, 2)$.

Se mai poate observa că $M_{i \leftarrow j} = M_{j \leftarrow i}^{-1}$.

■

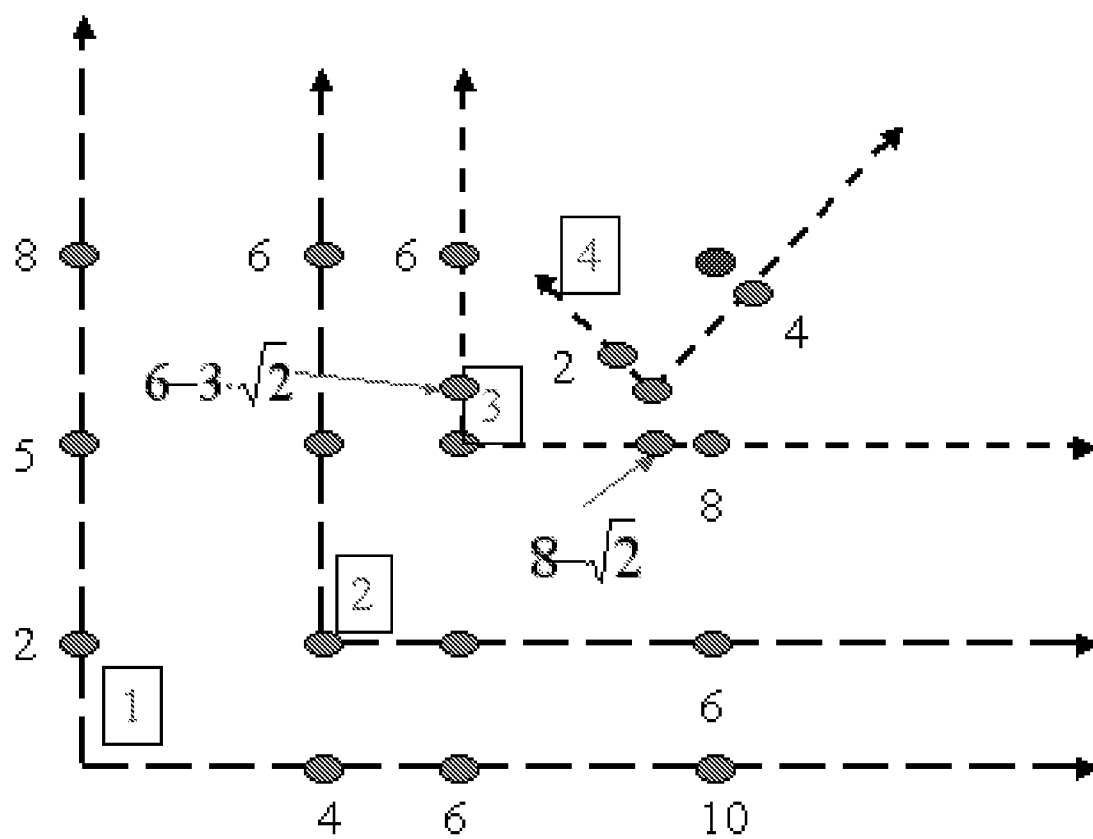


Figura 5.10: Coordonatele unui punct în mai multe sisteme de coordonate

Observația 5.5

Matricea transformării punctelor din sistemul de coordonate ce respectă regula mâinii drepte într-un sistem de coordonate ce respectă regula mâinii stângi (și viceversa) este

$$M_{L \leftarrow R} = M_{R \leftarrow L} = \begin{pmatrix} 1 & 0 & 0 & 0 \\ 0 & 1 & 0 & 0 \\ 0 & 0 & -1 & 0 \\ 0 & 0 & 0 & 1 \end{pmatrix}.$$

■

Am văzut în secțiunile precedente că putem aborda transformările geometrice ca având loc în același sistem de coordonate (ceea ce presupune că obiectele sunt definite inițial unul peste celălalt în același sistem de coordonate și de aici sunt transformate în poziția dorită). Mai putem avea și altă perspectivă : fiecare obiect este definit în propriul sistem de coordonate și apoi este scalat, rotit, translatat prin redefinirea coordonatelor sale în noul sistem de coordonate.

Să considerăm exemplul 5.5, pag. 57. Acesta presupunea aplicarea translației $T(-x_1, -y_1)$ astfel încât punctul $P(x_1, y_1)$ să ajungă în originea sistemului de coordonate. Putem vedea lucrurile și altfel : în figura 5.11, pag. 68 se observă că transformarea sistemului de coordonate 1 în sistemul de coordonate 2 este $M_{2 \leftarrow 1} = T(-x_1, -y_1)$ și deci $M_{1 \leftarrow 2} = T(x_1, y_1)$. Regula este următoarea : putem fie aplica o transformare geometrică M într-un unic sistem de coordonate fie schimba sistemul de coordonate inițial i într-un sistem de coordonate j și în acest caz avem $M_{i \leftarrow j} = M^{-1}$.

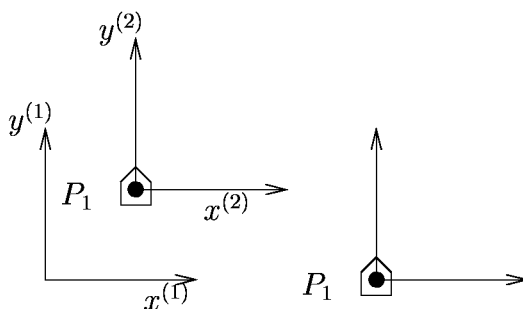


Figura 5.11: Transformarea sistemului de coordonate

Capitolul 6

Bibliografie

Pentru realizarea acestei lucrări au fost folosite următoarele referințe bibliografice :

1. F. Ionescu, *Grafica în realitatea virtuala*, Ed.Tehnica 2000,
2. M. Vlada, I. Nistor, A. Posea, C. Constantinescu, *Grafica pe calculator în limbajele Pascal si C*, Ed. Tehnica 1991,
3. J.D. Foley, A.v. Dam, S. Feiner, J. Hughes, *Computer Graphics: Principles & Practice in C (2nd edition)*, Addison- Wesley 1995,
4. C.-D. Neagu, S. Bumbaru, *Sisteme multimedia - Grafica pe calculator*, Ed. Matrix Rom, 2001,
5. D. Hearn, M.P. Baker, *Computer Graphics, C Version (2nd Edition)*, Prentice Hall 1996,
6. L. Raicu, *Grafic și vizual între clasic și modern*, Ed. Paideia, 2000,
7. F. Moldoveanu, *Grafica pe calculator*, Ed. Teora, 1996.